積乱雲発達初期の雲情報データ同化によるゲリラ豪雨予測

Prediction Experiment of Guerrilla Heavy Rainfall by Assimilation of Cloud Data at Early Stage of Cumulonimbus Development

山口弘誠・上嶋一樹・堀池洋祐・中北英一

Kosei YAMAGUCHI, Kazuki UESHIMA, Yosuke HORIIKE and Eiichi NAKAKITA

Synopsis

In this study, cloud information in the early developmental stage of guerrilla heavy rainfall is extracted from Himawari-8 and Ka band radar, and an assimilation experiment is conducted. And we will clarify what kind of influence it has on the developmental stage and maturity stage of guerrilla heavy rain. First, the influence of assimilation of cloud information was evaluated using observation system simulation experiment (OSSE). Next, considering the results obtained by OSSE, we calculated the relative humidity from Himawari-8 and the cloud water mixing ratio from Ka band radar, and carried out the assimilation experiment. The relative humidity assimilation has a great influence on the water vapor field of the atmosphere, and the assimilation of cloud water mixing ratio can reproduce the occurrence, development and maintenance of rainfall. For further elucidation of this mechanism, comparison with the assimilation experiment which calculated the rainwater mixing ratio from XRAIN was performed. As a result, the usefulness of the effect of assimilating the cloud water mixing ratio, which is cloud information, was reconfirmed.

キーワード:ゲリラ豪雨, ひまわり 8号, Ka バンドレーダー, 雲情報 **Keyword**: Guerilla Heavy Rain, Himawari-8, Ka Band Radar, Cloud Information

1. 研究の背景と目的

災害を引き起こす豪雨には、様々な空間的・時間的スケールが存在する.ゲリラ豪雨(局地的豪雨)、集中豪雨、梅雨前線、台風と順に空間的、時間的スケールが大きくなり、もたらされる災害にも違いがある.本研究において対象とするゲリラ豪雨は、突如発生し短時間で急速に発達し、局地的に猛烈な豪雨をもたらし災害を発生させ、人命を奪う危険性がある.ゲリラ豪雨の予測手法として、中北ら(2008)は発達する積乱雲の本質を上手く捉えた観測パラメータを用いて、発達するかどうかの定性的な判断に用いる研究手法を開発しており、すでに国土交通省で実用化が開始されている(片山ら2015).

一方で, 短時間降雨予測研究において, 近年デー

タ同化研究の飛躍が国内外を問わずめざましい (Tsuyuki and Miyoshi 2007). 計算機資源の発達によって、より解像度の高い数値モデルを用いたデータ 同化研究や、観測の高分解能化に伴って研究対象スケールがどんどん小さな現象を含むようになってきている. その中でスーパーセルなどの単一積乱雲を対象とした"ストームスケールのデータ同化"という言葉も定着してきており、ゲリラ豪雨もこの範疇に含まれるようになりつつある (Kain et al. 2010, Sun et al. 2014). ゲリラ豪雨を含むストームスケールのデータ同化研究においては、X バンドレーダーなどの降水レーダーによる観測値の同化は有効である.降水レーダーは激しい現象をとらえ、正確に降水量を推定し、空間的・時間的に高解像度の情報が得ることが可能であるからである.しかし、降水レーダー

のみでゲリラ豪雨を予測することが困難な事例も多 く報告されている (山口ら 2009). 降水レーダーは 降水に依存した観測値を得るという特性があるため, 急速に発達するゲリラ豪雨のような事例では、ある 程度積乱雲が発達した段階からしかデータ同化でき ない. そこで、降水より前の段階である、雲粒子の みが形成されている積乱雲発達初期の情報を得られ る静止気象衛星や Ka バンドレーダーなどのマルチ センサーによる観測が期待されている. 特に 2014 年 に打ち上げられた、静止気象衛星ひまわり8号の水 平解像度は赤外では 2km, 可視が 0.5~1km であり, 観測時間間隔も全球観測で10分間隔,日本周辺域観 測では 2.5 分間隔, 加えてチャンネル数も従来に比 べ大きく増えてより詳細な情報を得ることができる ようになった. 一方、Ka バンドレーダーは、距離分 解能が 150m, 方位分解能は 0.35°のミリ波レーダー である. レーダー送信周波数の高い方が水滴からの 後方散乱が大きくなる (浜津ら 2000) という性質か ら, 周波数の低い X バンドレーダーと比較して高い 受信感度を持ち (疋田ら 2016), 降水粒子よりも早 く形成される雲粒子を捉えることが可能となってい る. このようなマルチセンサー観測をデータ同化す ることで, ゲリラ豪雨の降水予測精度を向上するこ とができるのではないかと期待されている.

そこで本研究では、近い将来、静止気象衛星や Ka バンドレーダーから得られる観測情報をデータ同化 することを想定し、その第一段階として理想実験においてデータ同化実験を行い、データ同化による効果を評価する. そして、理想実験の結果を踏まえて、ひまわり 8 号や Ka バンドレーダーの実際の観測値を用いてデータ同化実験を行う. このように、従来の降水レーダーなどでは得ることが困難であった、ゲリラ豪雨の発達初期段階の情報を同化することによって、ゲリラ豪雨の発達期や成熟期に対してどのような影響があるのかということに対して明らかにしていくことを目的とする.

- 2. 短時間降水予測におけるデータ同化の概説
- 2.1 静止気象衛星を用いた短時間降水予測におけるデータ同化に関する既往研究について

2.1.1 静止気象衛星ひまわり 8 号について

2015年7月に運用開始された, ひまわり8号から得られる情報の空間解像度や, 時間間隔が従来の静止気象衛星と比較して大きく改善された. ひまわり8号では水平解像度は赤外では2km, 可視が0.5~1kmとなり, 観測時間間隔も全球観測で10分間隔に加え, 特定の領域を高解像度で観測できるようになり

日本周辺域では 2.5 分間隔で観測され,放射計は可視 3 バンド,近赤外・赤外 13 バンドの合計 16 バンド構成となり,雲や植生,エアロゾルなどといった情報がより詳細に得られるようになった.その中で本研究においては赤外バンドから得られる雲の情報をデータ同化することを想定した理想実験を行った.これまでと比較して,解像度が鮮明になり,かつ高頻度となり,その結果ゲリラ豪雨のような急速に発達する現象を時間的にも空間的にも解像できるようになった.そのため,ひまわり 8 号の観測値をデータ同化することによってストームスケールの降水予測精度向上の役立つのではないかと期待されている.

2.1.2 既往研究について

短時間降水予測研究では、一般的にメソスケールの気象予測モデル、いわゆるメソ気象モデル、もしくは雲解像モデルが用いられる。そのため、基本的なモデル変数は、風速・気圧・気温・水物質である。これらの第一推定値を観測値によって現実的な大気の場となるように修正していく。Fig.1 が現在気象庁における予測モデルにおいて用いられている観測値の一覧である。一般的に同化する観測値として用いられるものは、地上気象・ラジオゾンデ・気象衛星、および気象レーダーの観測情報である。

現在, ひまわり 8 号などの静止気象衛星によって 得られる情報を同化することによって, 短時間降水 予測の精度を向上させようとする研究が始まり出し た. ここでは, 澤田ら(2016), および Kerr et al.(2014), 大塚ら(2018)の研究についてそれぞれ紹介する.澤 田ら(2016)は、気象庁非静力学モデルを使った局所 アンサンブル変換カルマンフィルタ NHM-LETKF(Miyoshi and Aranami 2006 SOLA; Kunii 2014 WAF)に観測演算子として放射伝達モデル(RTTOV: Radiative Transfer for TOVS)を組み込んだシステム (岡本ほか, 2016 春季大会)を使用した.モデルの水平 解像度は 10km でひまわり 8 号の輝度温度データ同 化が大雨の再現性を高めることを実験した. Kerr et al.(2014)は観測システムシミュレーション実験 (OSSE)を用いて、衛星から得られる情報の輝度温度 と相関関係があると考えられる雲頂温度(CTT: Cloud-top temperature)同化により supercell の予測精 度に対しどのようなインパクトがあるのかを実験し た. その際、メソ気象モデル The Advanced Research version 3.3.1 of the Weather Research and Forecasting(WRF-ARW)Model (Skamarock et al. 2008) を用いて、モデルの水平解像度は 2km と設定した. 結果は、初期擾乱の発達期間において、輝度温度を 用いて発達する積乱雲の特性を情報として得ること は、レーダー反射因子のような降水依存の観測値よ

り、初期の段階の情報をデータ同化する観点から有 効であることが示された. 大塚ら (2018) はひまわ り 8 号最適雲解析 (OCA: Optimal Cloud Analysis) か ら, 擬似湿度データを作成し, 気象庁非静力学モデ ルに基づく 4 次元変分法同化システムを用いてそれ らを同化した実験を行った. OCAの同化あり(TEST), 同化なし (CNTL) で、両者の解析値と予報値を比較 した. 同化後の 09UTC の 700hPa の水蒸気混合比の 解析値 (TEST-CNTL) をみると, OCA による湿度を 同化したことにより、TESTでは南の海上を中心に水 蒸気が増加している. また, CNTL, TEST の 6 時間 後の3時間積算降水量予報の分布を,同時刻の解析 雨量と比較を行うと, 南関東における強雨域をより 良く表現している.しかし、3時間降水量の各時刻、 各閾値でのスレットスコアでは、全体 CNTL より目 立った改善がみられなかった. OCA の同化が降水予 報へ与えるインパクトは示唆されたが、擬似湿度の 与え方やデータの QC, 観測誤差の設定について, 更 なる検討が必要であると述べられていた.

観測種別	同化要素	LFM	MSM
アメダス	気温·風向·風速	導入済	検討中
航空機	気温・風向・風速	導入済	導入済
ウィンドブロファイラ	風向·風速	導入済	導入済
ドップラーレーダー	ドップラー速度	導入済	導入済
地上GNSS(全地球航法衛星システム)	可降水量	導入済	導入済
国内SYNOP(地上実況気象通報式)	気圧	導入済	導入済
国内SYNOP	比湿	導入済	導入予定
国内SYNOP	気温・風向・風速	導入済	検討中
国内METAR(定時飛行場実況気象通報式)	気温·風向·風速	検討中	検討中
ラジオゾンデ	気温・相対湿度・風向・風速	導入済	導入済
海外SYNOP・船舶・ブイ	気圧	導入済	導入済
海外SYNOP・船舶・ブイ	気温・風向・風速	検討中	検討中
台風ボーガス	気圧・風向・風速	検討中	導入済
解析雨量	地上降水量	予定なし	導入済
レーダー反射強度	相対湿度	導入済	導入済
静止衛星:大気追跡風	風向・風速	導入予定	導入済
静止衛星:晴天域放射輝度	輝度温度	導入予定	導入済
低軌道衛星:マイクロ波サウンダ	輝度温度	導入予定	導入済
低軌道衛星:マイクロ波イメージャ	輝度温度	導入予定	導入済
低軌道衛星:マイクロ波イメージャ	地上降水量	予定なし	導入済
低軌道衛星:マイクロ波散乱計	風向・風速	導入予定	導入予定
地上気温・風向・風速・比湿デー は初めて) 衛星データの利用はこれから	- <mark>夕を利用</mark> (気象庁の現業数	対値予報シン	ステムとし

Fig.1 A list of observation values used in the prediction model of the Meteorological Agency citation from http://www.jma.go.jp/jma/kishou/minkan/koushu131120/shiryou1.pdf.

2.2 今後同化することが期待されている Ka バンドレーダーの概説

2.2.1 Ka バンドレーダーについて

Kaバンドレーダーは送信周波数が約34.87GHz(波 長約8.6mm)のミリ波レーダーであり、レーダー送 信周波数の高い方が水滴からの散乱が大きくなる (浜津ら,2000)という電波散乱の特性上、現業用の降 水レーダーと比較して、感度が高く降水を伴わない ような雲や霧の観測が可能であるため雲レーダーと も呼ばれる。一方で電波の減衰は大きくなるため観 測範囲は降水レーダーなどより比較的狭い領域であ る. 例えば、名古屋大学が所有する最新式の Ka バンド偏波ドップラーレーダーの距離分解能は 150m、方位分解能は 0.35°、観測範囲はレーダーを中心とした半径 30km の園内である (疋田、2016). この降雨をもたらすよりも前の積乱雲発達初期段階における情報をデータ同化することによってどのような影響があるのかを調べていく.

2.2.2 既往研究について

Ka バンドレーダーを用いて積乱雲生成段階の雲の内部の特徴を渦度の観点も含めた研究も行われている.ここでは、中北ら(2018)が行った研究について述べる. 現業用の気象レーダーで用いられる C バンドレーダーや X バンドレーダーよりも短い波長帯の Ka バンドレーダーは小さな粒径の粒子に対しても高感度であるため Fig.2 に示すように雲の詳細な構造を観測することができる. また、それぞれのレーダーの基礎情報は Table 1 に示す. この Ka バンドレーダーを利用して積乱雲の発生初期の雲粒生成段階の研究が行われている.

従来の気象レーダーと比較して、Ka バンドレーダーが実際の事例においてどの程度ファーストエコーの探知に時間差が存在するのかについて述べる.中北ら(2018)は、2015年8月の地上での降雨強度分布を目視で確認して解析事例を抽出した.レーダーのファーストエコー探知の比較の結果をまとめたものを表 2.2 に示す.全12事例中11事例で X バンドレーダーよりも早く探知できることを確認できた.また Ka バンドレーダーで局地的豪雨のタマゴの発生を探知できた事例が Table 2で色塗りによって示された7事例で確認された.

これらのことから、Ka バンドレーダーによって、従来の気象レーダーと比較して、早い段階から積乱 雲を観測できることが示唆されている。そこで、本 研究では、Ka バンドレーダーを用いたデータ同化実 験を行い、ゲリラ豪雨予測を行う。

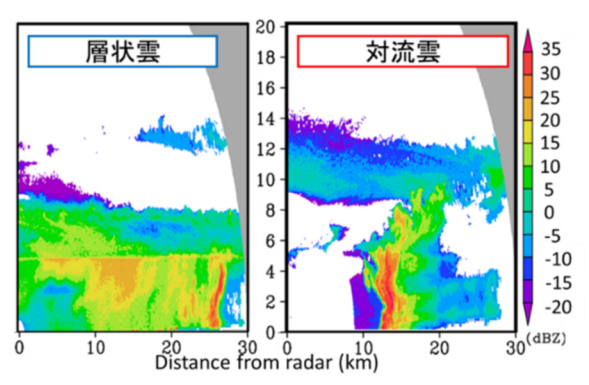


Fig.2 RHI observation of Ka band-radar (中北ら (2018)) .

Table 1 Radar basic information (中北ら(2018))

レーダー	国土交通省Xバンド レーダー(3基)	名古屋大学Kaバンド雲 レーダー
波長	3.0 cm	8.6 mm
観測範囲	半径80 km圏内	半径30 km圏内
立体観測間隔	5 分	10 分
空間分解能 Beam方向/Azimuth方向	150 m / 1.2°	75 m / 0.35°
観測データ	反射強度, ドップラー	ー風速,偏波パラメータ
折り返し風速	54 m/s	7.2 m/s
ノイズ処理	反射強度5dBZ未満 をノイズ除去	受信電力-107dBm(短 パルス域), -125dBm (長パルス域)未満でノ イズ除去

Table 2 Comparison of radar first echo detection times (中北ら(2018))

番号	年	月	日	降り始め時 刻	Ka-First Echo	X-First Echo	X-Ka
1	2015	8	3	14:49	14:37	14:47	0:10
2	2015	8	3	16:32	16:25	16:27	0:02
3	2015	8	5	16:38	16:05	16:22	0:17
4	2015	8	6	16:54	16:33	16:47	0:14
5	2015	8	7	16:18	16:11	16:01	X
6	2015	8	13	14:54	14:33	14:48	0:15
7	2015	8	13	16:25	16:12	16:23	0:11
8	2015	8	13	16:56	16:52	16:56	0:04
9	2015	8	21	11:00	10:51	10:56	0:05
10	2015	8	28	15:27	15:15	15:26	0:11
11	2015	8	28	15:28	15:03	15:22	0:19
12	2015	8	28	15:32	15:15	15:28	0:13

3.同化システムの基本設定

3.1 雲解像データ同化システム CReSS-LETKF の概要

まず同化に用いるアンサンブルカルマンフィルタ (Ensemble Kalman Filter; EnKF) 法について説明する. アンサンブルカルマンフィルタ法は Evensen (1994) により初めて提案されたデータ同化手法であり, アンサンブル予報とデータ同化手法であるカルマンフィルタを融合したものである.

本研究では、ひまわり 8 号や Ka バンドレーダーから得られる情報を雲解像モデルに同化するためのデータ同化手法として、Yamaguchi and Nakakita (2008) の構築した雲解像データ同化システム CReSS-LETKF を用いる.雲解像モデル CReSS(Cloud Resolving Storm Simulator、Tsuboki and Sakakibara、2002)にデータ同化手法 LETKF (Local Ensemble Transform Kalman Filter, Hunt et al., 2007) を組み込んだシステムであり、先端的な雲解像データ同化システムの一つである.ここで、LETKF 法は広義でアンサンブルカルマンフィルタ法の一つであり、アンサンブル予報とカルマンフィルタを融合させた同化手法である.(Patil et al., 2001).

3.2 観測システムシミュレーション実験 OSSE の概説

Fig.3 に OSSE の概念図を示す。本研究では,まず同化による影響を理想実験で評価する。 Masutani et al.(2010), Tan et al.(2007), Marseille et al.(2008)の 3 つの観測システムシミュレーション実験(Observing System Simulation Experiment:OSSE)についての研究を石橋(2013)が整理していたものを参考にしてOSSE について説明する。本研究においては,計画中の新しい観測システムが数値予報に与える影響をあらかじめ評価するという,仮想観測システムの評価という目的で用いる(石橋 2013) .

まず予報モデルは完全モデルであるという仮定をおく.ある数値シミュレーションをして"真"の大気場とできるとし、その真の大気場に誤差を与えて評価したい観測値とする.実際は真の場はわからないので、真の大気場(あるシミュレーション結果)とは異なる初期値から予報し、真の大気場から作成した観測値を同化して、データ同化による予報精度を評価する.理想実験では真の大気場の各座標における値のデータが存在するので同化による影響を評価しやすいという利点がある.

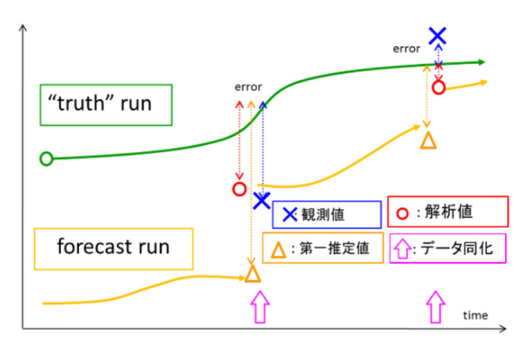


Fig.3 Conceptual diagram of OSSE

3.3 初期アンサンブル生成方法について

本研究のアンサンブル同化で使用する LETKF はアンサンブルメンバーを必要とする. ここではその初期アンサンブルメンバーの作成方法について述べる.

3.3.1 予測実験の作成方法

第4章で行う同化実験の真の大気場と、第5章で行う同化実験の初期値、境界値は予測開始時刻の気象庁 GPV(Grid Point Value: 格子点値)の MSM(Meso-Scale Model:メソ気象モデル)の予測の水平風、気温、相対湿度を用いた.一方、第4章の OSSE において用いる予測 RUN の初期値、境界値は予測開始時間より、9時間前の MSM の予測の水平風、気温、相対湿度を用いた。また海面水温は共に気象庁 NEAR-GOOS データを用いた。

3.3.2 摂動の作成方法

アンサンブルメンバーは予測 RUN の初期値に対してガウス分布のランダムな摂動を与えて作成する.しかし、完全にランダムに誤差を与えるとモデルに不安定を生じさせてしまうので、ランダムに作成した誤差を様々な処理をしてモデルに適合するようにした。まず、Kerr et al. (2014) と同じ方法で以下のように過重移動平均する。 $f^{\text{perturbed}}(l,m,n)$ はスムージング後の誤差, $f^{\text{unperturbed}}(l,j,k)$ と同値であり, $f^{\text{unperturbed}}(l,m,n)$ をスムージングするにあたって用いるスムージング前の周辺の誤差を示す。l,m,n はスムージングを行う格子の座標,i,j,k はスムージングに用いる格子の座標を示す。 l_n と l_n は水平方向と鉛直方向の重みの設定であり,今回は先行研究と同様に l_n =4km, l_n =2km と設定し計算を行った。

 $f^{perturbed}(l, m, n) = f^{unperturbed}(l, m, n) + \sum_{i,j,k} f'(i,j,k) \exp(-\frac{|x_i - x_i|}{l_k} - \frac{|y_j - y_m|}{l_k} - \frac{|z_k - z_n|}{l_k})$ (1)

しかしこの過程だけでは、本研究の解像度においては不十分であると考えられた.理由としては計算領域において、スムージングしたことにより多くの箇所で誤差の値のピークが見られたことがある.つまり、局所的なピークを持つ誤差によって擾乱が過剰に発生させる可能性が考えられた.そのためこのピークを減らすために、領域内において線形補間をし、それに対して単純移動平均を用いて誤差を作成した.この過程によってピークが減少させることはできたが、線形補間したことによって補間した部分において値が滑らかにつながっていなかったので、再び過重移動平均をすることによってその問題を解消し、初期値に対して与える誤差を作成した.

3.3.3 各同化実験に対する誤差の与え方

予測 RUN の初期値に誤差を与える変数は、東西風u,南北風v,温位 θ ,水蒸気混合比 q_v を設定した。第4章で述べる沖縄事例を対象とした同化実験では、標準偏差はu,vは1.0 m/s、 θ は1.0K、 q_v は1.0 g/kgで与えた。また、第4章で行った同化実験を結果と第5章における対象事例の大気場を考慮し、第5章では、標準偏差をそれぞれ、0.3、0.4、0.5、0.6、0.7とした5種類の誤差を作成し、それぞれの変数に誤差を与えた。このことについては、それぞれ第4章と第5章で詳細に記述する。

3.4 擬似観測値の作成方法

本研究では、ひまわり 8 号の赤外バンドから得られる衛星輝度温度の同化と Ka バンドレーダーから得られる雲の情報の同化を想定した理想実験を行う。そこで衛星輝度温度と相関があると考えられる雲頂

温度(Cloud Top Temperature:CTT)をひまわり 8 号の 擬似観測値とし、また雲の情報として雲水混合比 qc を Ka バンドレーダーの擬似観測値として同化する. 作成した観測値を Fig.4 に示す. $\theta_{\rm CTT}$ 作成方法は Kerr et al.(2014)の手法に参考に少し簡易化をして作成し た. x および y 方向の格子番号 i および i を固定して 鉛直 1 次元方向に各格子の q_c , 雨水混合比 q_r , 雪片 混合比 q_s , 氷晶混合比 q_i , 霰混合比 q_g のそれぞれを 足した総水物質混合比 q_t (= $q_c+q_r+q_s+q_i+q_g$)が $1.0\times10^-$ ²gkg-¹よりも大きな値をとった格子の中で,最も高度 が高い点の温位と定める. これを同化対象とする積 乱雲近傍の全ての水平格子点ごとに算出し, 重ね合 わせたものを $\theta_{\rm CTT}$ とした. また作成した擬似観測値 に対して観測誤差として標準偏差 1K の誤差を与え た. 一方, q_c に関しては, 実際に観測できるであろ う閾値として、2.0 ×10⁻¹gkg⁻¹と設定し、閾値以上の ものを擬似観測値として抽出した. これに対しては 観測誤差として,標準偏差 1.0×10-2gkg-1で誤差を与 えた. この閾値設定については次節で説明する.

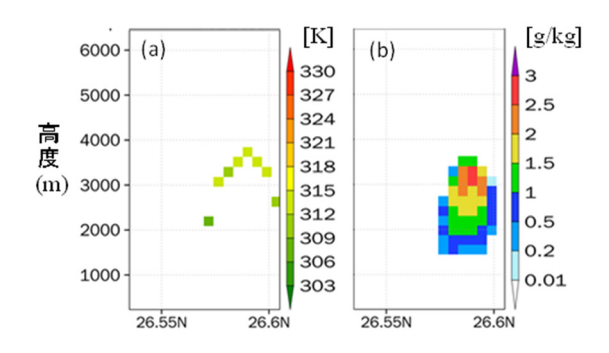


Fig.4 Pseudo observation values (a) Potential Temperature θ , (b) cloud water mixing ratio q_c

4. ひまわり 8 号と Ka バンドレーダーの 同化を想定した理想実験

4.1 理想実験の目的

本研究の最終目標は実際にモデルにひまわり 8 号 や Ka バンドレーダーから得られる情報をデータ同化して、ゲリラ豪雨の予測精度を向上させることである. 積乱雲発達初期段階においてひまわり 8 号や Ka バンドレーダーはゲリラ豪雨のシグナルを捉えられるのではないかと期待されている. しかしながらそれらの観測値を用いたデータ同化において問題が多く存在している. 観測誤差を適切に与えられるほどのデータの蓄積がないということや、観測演算が確立されていない新しい観測情報であり、そもそも雲情報のデータ同化が積乱雲メカニズムにどのような効果をもたらすか明らかになっていないということがある. 以上のことから、まずは影響が評価しやすい理想実験を行う.

4.2 OSSE を用いた理想実験における真の大気 場の計算設定と予測ラン

4.2.1 対象事例と雲解像モデルの実験設定

2016年8月に沖縄県の名護湾で発生した,大気不 安定場において発生したゲリラ豪雨を対象とした. Fig.5 に 2016 年 8 月 19 日の 12:00 から 12:50 におけ る沖縄の気象庁 C バンドレーダー画像を示す. 名護 市周辺で 12:10 頃から降水が確認され, 急速に発達 していき, 12:40 には降雨強度が 50 mm/hr に達した. さて,ここでは真の大気場と予測ランを作成するた めの CReSS の設定を述べる. 初期時刻を 19 日 12 時, 水平解像度を 500 m (400×400 格子), 鉛直方向には 平均的に 250 m (ただし, ストレッチングをかけて 下層を細かくとり, 最下層では 150 m とし全 64 層と なっている)とし、予測を開始する. 計算領域は東 西が東経 127.5 度から 128.4 度の区間, 南北は北緯 26.0 度から 27.0 度の区間を対象とし、沖縄本島がす べて計算領域に含まれるように設定した. 初期値, 境界値は予測開始時刻の気象庁 GPV の MSM の水平 風, 気温, 相対湿度を用いた. また海面水温は気象 庁 NEAR-GOOS データを用いた. さて, 19 日 12 時 から13時までの計算を行うが、初期値として、真の 大気場では 19 日 12 時の MSM を与え, 一方同化の 有無に関わらず予測実験では、19日3時の MSM か ら9時間計算を走らせた12時のデータを与えた.こ の方法により予測実験の初期値を真の大気場と異な るようにし, 2.5 分間隔で計算結果を出力した. local pacth は,水平方向 15 メッシュ,鉛直方向 4 メッシ ュとした. アンサンブルメンバー数は31とし, サン プリングエラーはなく同化計算が行われた.

4.2.2 真の大気場と同化なし予測の比較

Fig.6 に真の大気場, Fig.7 に同化なし予測の地上降雨強度を示す. 真の大気場では 12:35:00 に弱い降雨が発生し始め, 図示していないが 12:42:30 には降雨強度のピークが 150 mm/hr に達し, その後も強い降雨をもたらした. 一方同化なし予測では, 降雨開始は真の大気場よりも 7.5 分遅れていた. 降雨強度のピークは 12:50:00 に 50 mm/hr 程度であり, その後衰退していった. このように, 降雨開始時刻と降雨ピーク強度において差が発生した.

本研究では雲情報を同化するので、真の大気場における雲情報を整理しておく。Fig.8 と Fig.9 に、東経 127.942 度上の南北断面における、雲水混合比 q_c と雨水混合比 q_r ,温位 θ を示す。12:22:30 に雲が形成され始め、12:27:30 には q_c の値は最大 1.00 g/kg が計算された。また同時に q_r についても 0.01 g/kg と非常に小さいが計算され始めたが、この段階では X バ

ンドレーダーでは捉えられないと考えられる。その後順調に雲は発達していき、12:32:30 には、 q_c 、 q_r ともに最大 2.00 g/kg 程度をとり、約 10 m/s ほどの上昇流が発生しており、その 2.5 分後に地上に降水が確認され始めた。また雲頂部では、3 m/s 以上の上昇流が発生し、空気塊が持ち上げられ、周囲の等高度の θ と比較して低いことが確認された。

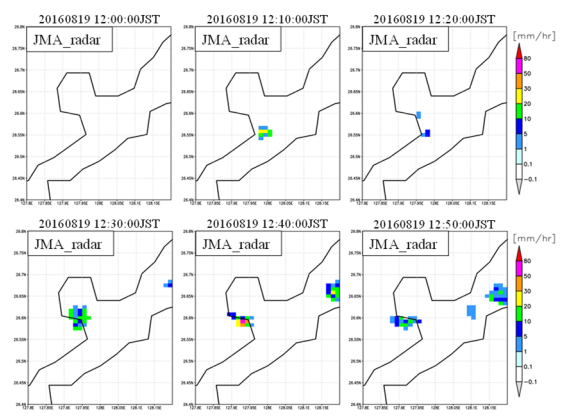


Fig.5 Image of radar in Okinawa(C-band radar)

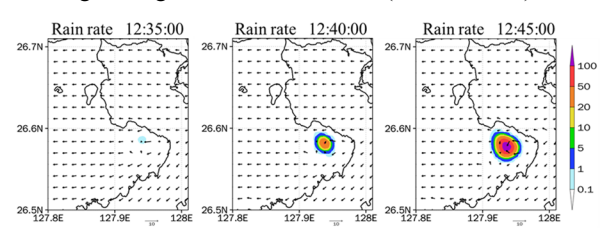


Fig.6 Rainfall rate of true run (CReSS)

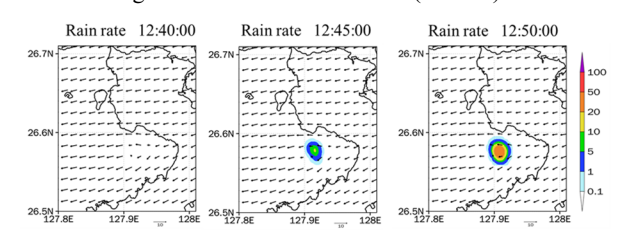


Fig.7 Rainfall rate of forecast run (CReSS)

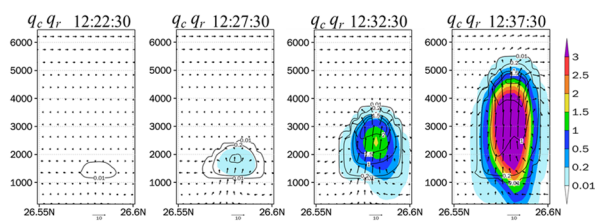


Fig. 8 Vertical cross section of q_c (contour) and q_r (shade) [gkg⁻¹] in true run (CReSS)

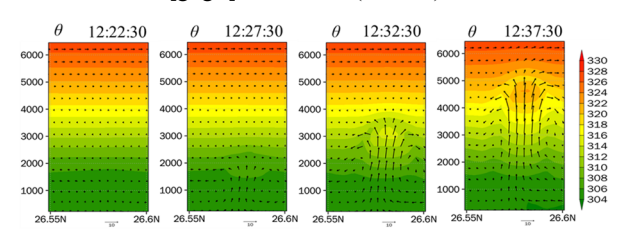


Fig.9 Vertical cross section of potential temperature [K] in true run (CReSS)

4.3 擬似観測値の作成方法と同化実験の設定

4.3.1 擬似観測値の作成方法

本研究では、ひまわり 8 号の赤外バンドから得られる衛星輝度温度の同化と Ka バンドレーダーから得られる雲の情報の同化を想定した理想実験を行う。今回はモデルの解像度と同じ 500m において観測値を作成し、赤外バンドの解像度(2km)と比較するとより高解像度な条件で作成した.一方 Ka バンドレーダーの解像度は Beam 方向では 75m, Azimuth 方向では 0.35°であり、モデルの方が低解像である.そのため、実際に観測される Ka バンドレーダーではより詳細な雲情報が得られていると考えられる.

衛星輝度温度と相関があると考えられる雲頂温度 (CTT: Cloud Top Temperature) をひまわり 8 号の擬 似観測値とし、また雲の情報として雲水混合比 qcを Ka バンドレーダーの擬似観測値として同化する. 作 成した観測値を Fig.10 と Fig.11 に示す. $\theta_{\rm CTT}$ 作成方 法は Kerr et al. (2014) の手法に参考に少し簡易化を して作成した. x および y 方向の格子番号 i および jを固定して鉛直1次元方向に各格子の qc, 雨水混合 比 q_r , 雪片混合比 q_s , 氷晶混合比 q_i , 霰混合比 q_g の それぞれを足した総水物質混合比 q_t (= q_c + q_r + q_s + $q_i + q_g$) が 1.0×10^{-2} g/kg よりも大きな値をとった格子 の中で、最も高度が高い点の温位と定める. これを 同化対象とする積乱雲近傍の全ての水平格子点ごと に算出し、重ね合わせたものを θ CTT とし、観測誤差と して標準偏差1Kの誤差を与えた.一方, qcに関し ては, 実際に観測できる閾値として, 2.0×10⁻¹ g/kg と 設定し, 閾値以上のものを擬似観測値として抽出し た. これに対しては観測誤差として,標準偏差 1.0 ×10⁻¹ g/kg で誤差を与えた. この閾値設定については 次節で説明する. 今回は、観測値の影響がより反映 されるために、観測誤差は小さく設定した.

4.3.2 *q*_cの閾値の設定について

本研究において Ka バンドレーダーの観測できる発達ステージとして新保ら(2017)を参考にした. 2016 年に沖縄で行われた観測において Ka バンドレーダーが高度 1500 m~2500 m において雲の形成が確認された。モデルの真の大気場における q_c と q_r の Fig.8 とレーダー画像から作成した Fig.12 を比較し,閾値を 2.0×10^{-1} g/kg と設定した. 観測誤差の設定としてはより q_c を同化することによる同化の影響が反映されやすいように小さく設定した. 今後はこの閾値や観測誤差の妥当性に関して考慮していくことが今後の課題と考えられる.

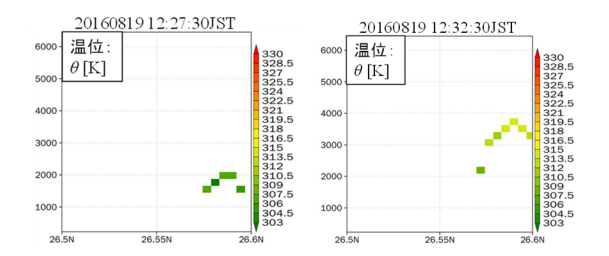


Fig.10 Pseudo-observed values of θ_{CTT} [K]. (12:25:00 to 12:32:30)

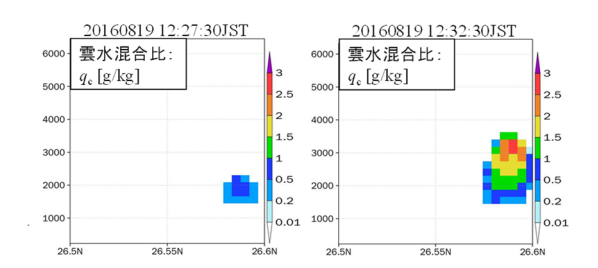


Fig.11 Pseudo-observed values of q_c [gkg⁻¹]. (12:25:00 to 12:32:30)

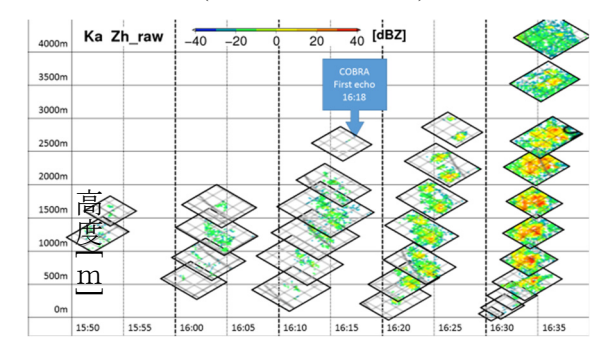


Fig. 12 Vertical distribution of echoes of Ka band radar (Observed on May 16, 2016)

4.3.3 同化実験の設定

Fig.13 に示すように、同化期間は上空に雲水混合比 q_c が確認された 12:22:30 から地上に弱い降水が確認された 12:37:30 までとし、同化時間間隔はひまわり 8 号の観測間隔と同じ 2.5 分とした. Table 3 に実験ケース名を示す.

解析方針について説明する.本研究ではスケールの小さい現象を対象としているため、個々のメンバーの解析を行う.そこで、31メンバーの中で、まず摂動を与えていないコントロールランを解析し、次いで、個々のアンサンブルメンバーの解析を行い、より詳細なメカニズムの理解に向けた解析を行う.



Fig.13 Time axis in this experiment.

Table 3 Summary of the experimental case

実験名	同化した 観測値	同化期間	予測期間			
ケースtrue	Ţ	真の大気場				
ケースnoDA	同化なしで予測したもの					
ケースCTT	СТТ	12:22:30	12:37:30			
ケースq。	q_c	12:22:30 ~ 12:37:30	13:00:00			
ケースCTT, q _c	СТТЬ	12:57:30	15:00:00			

4.4 アンサンブルの最大降雨強度の比較

ここでは、各同化実験における全アンサンブルメンバーの各時刻における降雨強度の最大を抽出し評価した.評価方法としては、目視で降雨強度の図を確認し、その中で同化の影響で形成されている降雨を抽出する。そして、この降雨を Table 4 に示すように、ランク付けを行い評価した.抽出した降雨の例を Fig.14 に示す.このような手法を選択した理由は、同化の影響を受けて発生した降雨が、メンバーによって降雨の位置が異なることや周囲に降雨が発生しているメンバーが存在していたため、プログラムで領域を指定し、降雨強度の最大値を抽出するのが困難であった。そのため、降雨強度の図を目視で確認し、ランク付けを行い、各同化の影響を解析した.

Table 4 Setting of rainfall intensity in each rank

ランク	0	1	2	3	4	5	6	7
降雨強度 (mm/hr)	0~0.1	0.1~1.0	1~5	5~10	10~20	20~50	50~100	100~

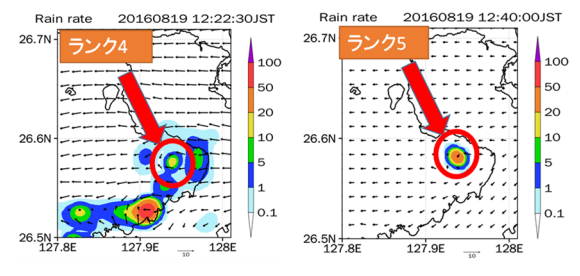


Fig. 14 Example of ranking rainfall rate.

4.4.1 各同化実験における結果

上述の手法を用いて降雨強度の最大をランク付けした各同化実験のアンサンブルメンバーの結果をFig.15 に示す.この図から,各同化実験のアンサンブルメンバーがケース true と比較してどのような挙動をしており,同化による降雨最大強度に対してどのような影響があるのかを解析を行う. Fig.15 (a)に示すように,ケース noDA では,降雨開始時刻や

降雨の継続時間・降雨強度など、それぞれ異なった 挙動を示すメンバーが存在している.他の同化実験 と比較して、降雨最大強度におけるスプレッドが大 きいことが確認された.

Fig.15 (b) に示すように,ケース CTT では,ここで はケース true における、降雨開始以前と降雨開始以 降の二つのタイミングに着目した. まず, ケース true における降雨開始以前の時間では, 多くのメンバー が降雨発生を抑制された. ケース noDA と比較する と,降雨開始のタイミングの再現性が向上したと考 えられる. しかし、依然として、降雨開始以前にお いて強い降雨をもたらしたメンバーも存在した.多 くのメンバーがコントロールランの解析結果と同様 の降雨開始のタイミングの再現性は向上する一方で, 予測期間において強い降雨をもたらすメンバーは少 なくなった. このような結果になった原因は大きく 分けて2点あると考える.1点目は、観測値として、 抽出したのは雲頂部のみという,2次元的な情報で あるため, 正しく積乱雲の情報を反映できていない のではないかという点である. 2点目は、同化する雲 頂部の観測値と、同化されるモデルの積乱雲の高度 が違うことによって、発達を抑制しているのではな いかと考えた. 雲頂部とコア部における温位や上昇 流の相関関係が異なっているため、積乱雲コア部に 雲頂部の観測値が同化されることによって, コア部 発達が抑制され、その後もモデル計算においても、 積乱雲が発達しなかったと考えられる.

Fig.15 (c) に示すように、ケース q_c では予測期間において強い降雨強度を再現できたメンバーが多く存在していた。Table 5 に示すように。降雨強度のピークが $50\sim100$ mm/hr のメンバーは 7 メンバー,100 mm/hr 以上が 24 メンバー存在していた。降雨強度のピークを再現できたメンバーは多く確認できた。ケース true が 12:57:30 まで 100 mm/hr の降雨強度が維持されていたが、ケース q_c のアンサンブルメンバーでその時間まで強い降雨が維持できたメンバーは存在しなかった。一方で,100 mm/hr の降雨強度を 10分間維持できたメンバーが 3 メンバー存在していた。多くのメンバーで降雨強度最大の再現性が向上したことから, q_c が効果的であるといえるだろう。

Fig.15 (d) に示すように、ケース CTT. q_c では、ケース true の降雨開始以前の同化期間において、ほぼすべてのメンバーで強い降雨を発生させた。降雨がケース true と比較して、早い段階から発生したため、強い降雨が維持されたメンバーは少なかった。これはケース q_c では確認された発生・発達のメカニズムに対して、CTT 同化が悪影響を与えたと考えられる。その結果、 q_c 同化によって上空に形成された q_r が上昇流によって維持されることなく地上降雨となった。

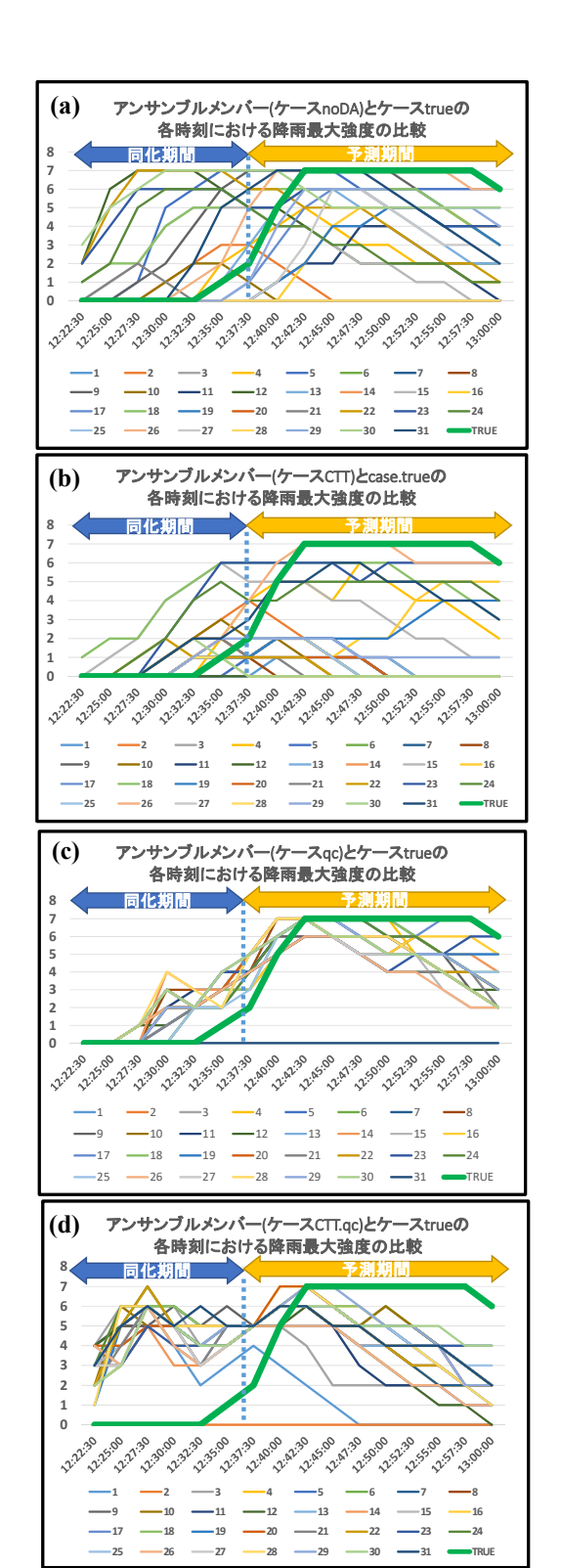


Fig.15 Comparison of maximum rainfall intensity at each time of case true and each assimilation experiment

Vertical axis: Rank

Horizontal axis: Time

- (a) case.noDA
- (b) case.CTT
- (c) case.qc
- (d) case.CTT. qc.

Table 5 Comparison of the number of members regarding the peak value of rainfall intensity

ピーク値	ケース q _c	ケース CTT. qc
20mm/hr 以下	0メンバー	2メンバー
20~50mm/hr	0メンバー	1メンバー
50~100mm/hr	7メンバー	22 メンバー
100mm/hr以上	24 メンバー	6メンバー

4.5 作成したアンサンブルメンバーの評価

ここでは、コントロールランの初期値に対してガウス分布のランダムな摂動を与えて作成したアンサンブルメンバーが同化計算に適していたのかということと、ケース true とアンサンブルメンバーの環境場がどの程度異なっているのかの評価を行う.これらの解析を行う理由としては、本来は相関があるはずである変数に対してランダムに誤差を与えていいのかという点と、今回再現を目指しているケースtrue の現象がどの程度、発生することが珍しい事例を確認する.

Fig.16 に対象事例の一例を示す。今回は対象とした降雨が赤い枠で囲んだ 15 km × 15 km (30 格子四方)を中心に降雨が発生した。そこで、解析領域として水平方向は、赤い枠を中心に 45 km × 45 km (90 格子四方)に拡張した領域を、鉛直方向は最下層から約 10000 m (50 格子)を解析領域として設定した。解析手法としては、各格子点の差を足し合わせた値を積算し格子数で割る手法と RMSE (Root Mean Squared Error)を用いた。

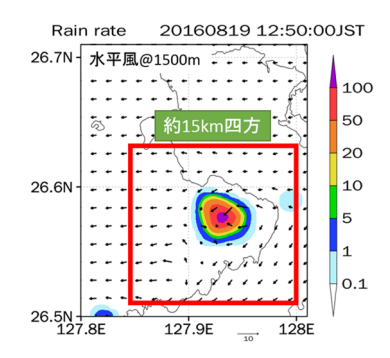


Fig.16 Indicating target case

4.5.1 差を正負込みで積算したもの

上記の解析領域の各格子点においてケース noDA の各アンサンブルメンバーからケース true の値を引き、その差を足し合わせて格子点の数で割り、算出した値を Fig.17 に示す.赤色の線がコントロールランであり、黒色の線がその他のアンサンブルメンバーの結果を示す.コントロールランに対して、u,v、

 θ , q_v の変数に標準偏差 1.0 の摂動を与えてアンサンブルメンバーを作成したので,アンサンブルメンバーがコントロールランを中心に分布していることが確認された。また,多くの変数でコントロールランが 0 に近い値をとっていた。これは,コントロールランが 0 の子測値を,ケース true が 0 が 0 を開いているためであると考えられる。0 は、0 の変数では,与えた摂動の影響が大きく,時間が経過してもケース true との差はあまり変化しなかった。一方,0 のにおいて,時間の経過とともに値が大きく変化するメンバーが存在していた。このことから,0 が単一の積乱雲であっても,0 も 大きくの領域において時間変化が大きかったと考えられる。

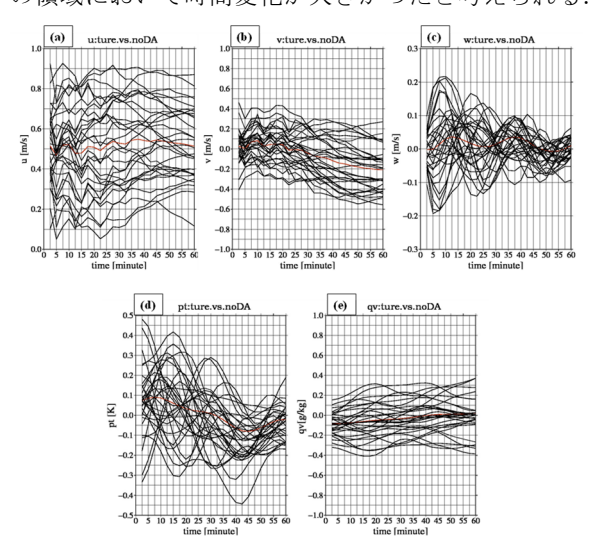


Fig.17 Analysis results for each variable (a) East-west wind: u (b) north-south wind: v (c) vertical wind: w (d) temperature: θ (e) water vapor mixing ratio: q_v

4.5.2 RMSE を用いた解析

以下の計算式(1)を用いて RMSE を算出した結果 を Fig.18 と Fig.19 に示す. 水平方向はすべての図に おいて 45 km 四方で計算を行っているが、Fig.18 は モデルにおける z=1~50(地表面から高度約10000m), Fig.19 は図に示す高度において算出している. 赤色 の線がコントロールランであり、 黒色の線がその他 のアンサンブルメンバーの結果を示す. z=1~50 と 広い範囲で計算を行うと, コントロールラン値が顕 著に0に近い値を取っていた.一方で,各高度にお ける範囲で計算を行うとコントロールランが一番小 さい値でない層も確認された. 各層においては、コ ントロールランよりもケース true に似たメンバーが いるが、広い範囲ではコントロールがケース true に 一番似たメンバーであるといえる. Fig.18 から, コ ントロールランからのメンバーのスプレッドはあま りばらつきがないような結果となった. そこで, 第 5 章以降の同化実験においては、与える誤差の標準

偏差にばらつきを持たせて、アンサンブルメンバー を作成する.

$$RMSE = \sqrt{\frac{\sum_{i} (y_{noDA,i} - y_{true,i})^{2}}{n}}$$
 (1)

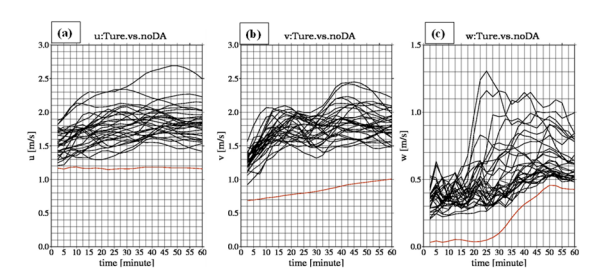


Fig.18 RMSE analysis results for each variable (a) eastwest wind: u (b) north-south wind: v (c) vertical wind: w

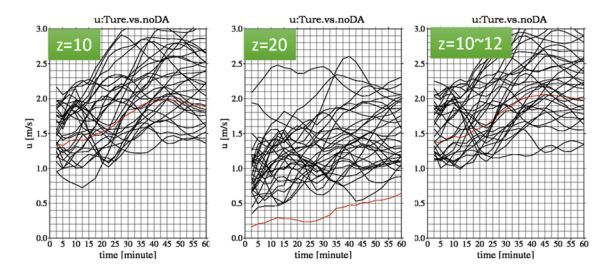


Fig. 19 RMSE analysis results of east-west wind (u) at each altitude.

4.6 環境場の比較

ここでは、ケース true とケース noDA のコントロ ールランにおいて, 積乱雲発生前の段階で環境場に どのような違いがあったのかを解析する. 積乱雲発 達に寄与が大きいと考えられる水蒸気に関連する相 対湿度と相当温位, それに加えて鉛直風に着目した. 解析の領域としては、Fig.20 に示す強い降雨が発生 した領域の東西の鉛直断面を対象とする. ケース true における相対湿度を Fig.21 に、相当温位と上昇 流を Fig.22 に示し、ケース noDA のコントロールラ ンにおける相対湿度を Fig.23 に、相当温位と上昇流 を Fi.g.24 に示す. また, Table 6 に示すように, それ ぞれのケースにおいて発生した降雨のタイミングは 異なるため, 時刻ではなく降雨が発生した時刻など の点において比較を行う.以下ではケース true は true, ケース noDA のコントロールランは noDA と表記す る. Table 7 に発生した地上降雨強度と発生時刻を, 表 4.5 に 0.5~1.0 m/s・1.0 m/s 以上・3.0 m/s 以上の 上昇流が形成された時刻と、その時刻における80% 以上・90%以上・95%以上の相対湿度の鉛直方向の 分布している領域を示す. 同じ上昇流が形成される 段階においても、true の方が相対湿度の高い領域が 多く分布していた. この降雨が発生するよりも前の

段階である上昇流が形成されるタイミングにおける 水蒸気の量が、どの程度積乱雲が発達するかに、寄 与があるのではないかと考えられる。降雨発生以降 では、同じ降雨強度の時刻において相対湿度の鉛直 方向の分布の違いはあまり確認できなかった。一方 で、相当温位の極大域と上昇流の一致が確認され、 また相当温位の勾配が大きい箇所に下降流が発生し ており、相当温位の分布と鉛直流には強い相関があ ると考えられる。

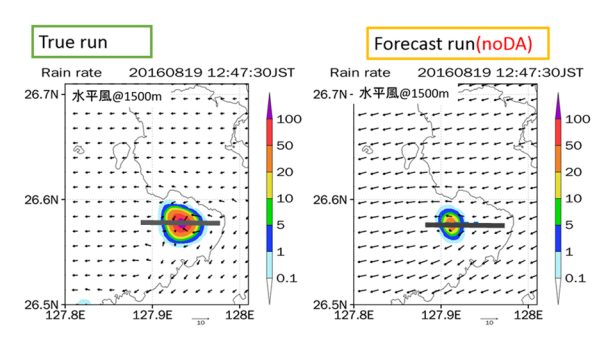


Fig.20 The position of the vertical section analyzed

Table 6 Time when each rainfall intensity occurred

降雨	1mm/hr	5mm/hr	20mm/hr	50mm/hr
強度				
True	12:35:00	12:37:30	12:40:00	12:42:30
時刻				
noDA	12:42:30	12:45:00	12:47:30	
時刻				

Table 7 The time when the rising flow threshold was confirmed and the relative humidity presence altitude at that time

上昇流の	0.5~	1.0m/s 以	3.0m/s 以
値	1.0m/s	上	上
True 時刻	12:15:00	12:20:00	12:27:30
Rh:80%以	500~	500~	500~
上高度	2000m	2000m	2300m
Rh:90%以	1000~	800~	700~
上高度	1100m	1600m	2100m
Rh:95%以	なし	1000~	800~
上高度		1300m	2000m
noDA ∅	12:17:30	12:22:30	12:30:00
時刻			
Rh:80%以	600~	600~	500∼
上高度	1700m	1800m	1900m
Rh:90%以	なし	800~	600~
上高度		1300m	1700m
Rh:95%以	なし	なし	800~
上高度			1600m

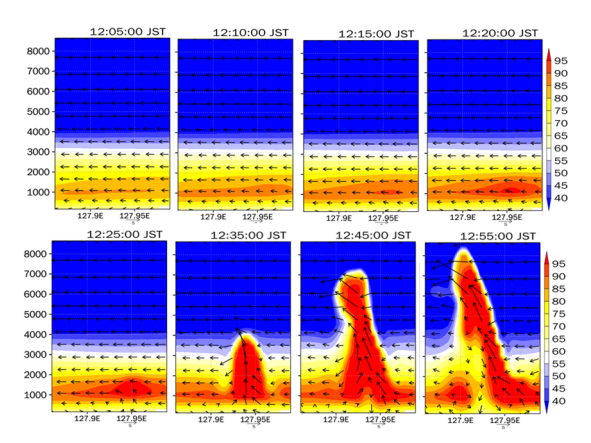


Fig.21 Relative humidity (shade) in case true.

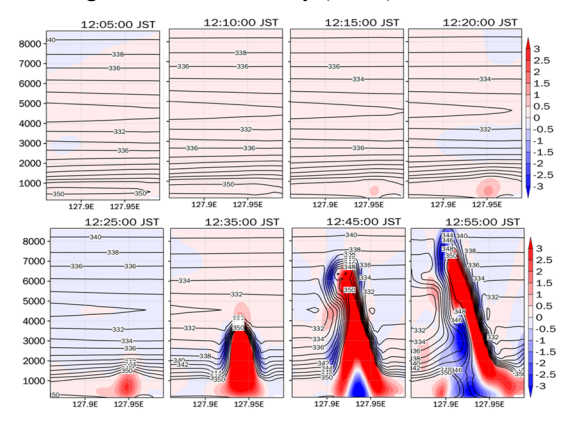


Fig.22 Equivalent potential temperature (contour) and upward flow (shaded) in the case true

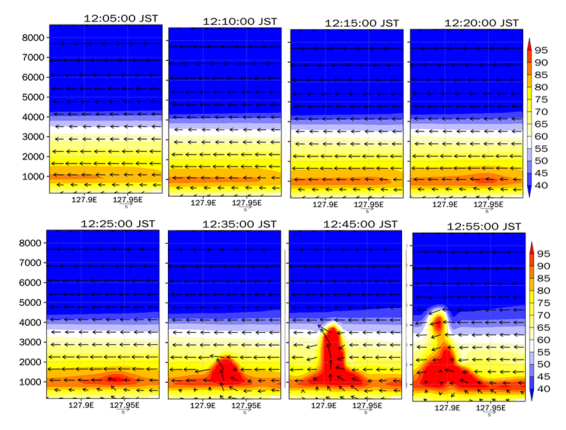


Fig.23 Relative humidity (shade) in case noDA.

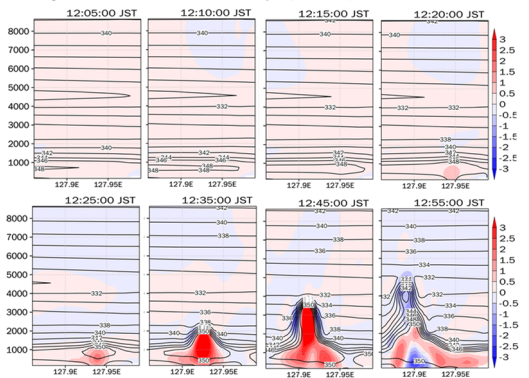


Fig.24 Equivalent potential temperature (contour) and upward flow (shaded) in the case noDA.

4.7 まとめ

第4章では、OSSEという理想実験の枠組みで、 ひまわり 8 号の観測を想定した雲頂温度 CTT と Ka バンドレーダー観測を想定した雲水混合比acを用い た同化実験を行った. CTT 同化によって, 雲頂部で 温位が減少し上昇流が発生する関係性を再現でき, 地上降雨開始のタイミングの予測精度が向上した. また、qc同化により、積乱雲コア部で凝結による温 位の上昇と上昇流の発生を再現でき, 地上降雨強度 のピークの予測精度が向上した.一方で、これらの 観測値を組み合わせると,降雨発生以前のタイミン グにおいて強い降雨の発生メンバーが多く存在した. また,ケース noDA のアンサンブルメンバーとケー ス true の環境場の比較を行った. その中で、アンサ ンブルメンバーのよりばらつきを持たせるためには, 与える誤差の標準偏差もばらつかせる必要があると 考えた. そして、RMSE などの客観的解析を行った 結果から、ケース noDA のコントロールランがケー ス true の大気場の類似が示されたため、より詳細な 環境場の違いを調べた. その結果, 降雨発生以前の 上昇流が形成される段階において、80%以上の高い 相対湿度の鉛直分布が異なることが確認され, 相対 湿度の情報を同化することによって, 環境場の再現 性が向上するのではないかと考えた. そこで, 第5 章の実際の観測値を用いた同化実験では, OSSE で 降雨の再現性向上が見られた q_c と、ひまわり8号を 用いて算出した相対湿度を用いて,同化実験を行う. 285 K の雲域が流入しているのが見られる. これに 対応するものとして、B03 チャンネルによって、0.2 ~0.3 程度のアルベドが観測されている. この段階で, 雲が形成されていると考えられ、その後も南西から 流入が続いている. 地上降雨が発生した, 8:30 頃に は B13 チャンネルでは 275~280 Kが, B03 チャン ネルでは0.5程度のアルベドが観測された.そして, 地上降雨強度が 50 mm/hr が観測された 8:45 におい てはB13チャンネルでは270~275Kが観測された. このように、降雨発生以前の段階から、雲の発生・ 発達のシグナルが観測されていることがわかる.



Fig.25 Ground weather map August 18, 2017 9:00 (from tenki.jp)

5. 雲情報と降水情報用いた同化実験も比較

5.1 2017年8月18日神戸事例の概説

5.1.1 2017年8月18日神戸事例の概要

ここでは、2017 年 8 月 18 日の本研究が対象とした降雨の概要について説明する. Fig.25 に地上天気図を示す. 未明から朝にかけて、近畿地方では非常に激しい降雨が発生した. Fig.26 に XRAIN によって算出された地上降水量を示す. 4:00 には兵庫県を中心に 50 mm/hr 以上の非常に強い降雨が観測され、その後降雨域は南東へ進んでいった. その後、6:00~7:00 において、神戸にも非常に強い降雨をもたらし. 大規模な降雨システムは南東へ進み、弱まった. 本研究では、Fig.27 に示すこの大規模な降雨システムが通過した後の降雨を対象とする. 神戸市周辺で、8:30 頃に降雨が確認され、急速に発達していき 8:45頃には降雨強度が 50 mm/hr に達し、その後も積乱雲が維持された.

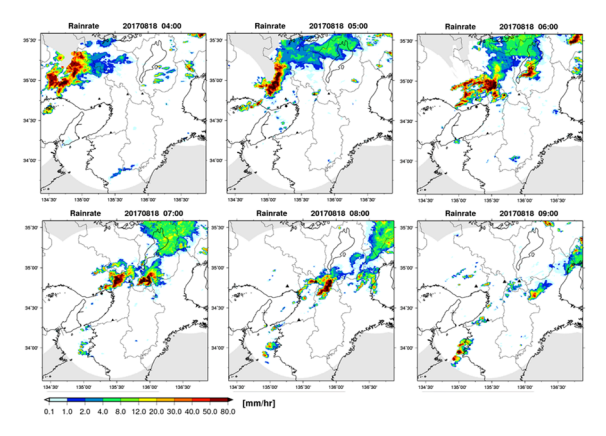


Fig. 26 Rainfall rate on August 18 from 4:00 to 9:00 throughout Kinki region.

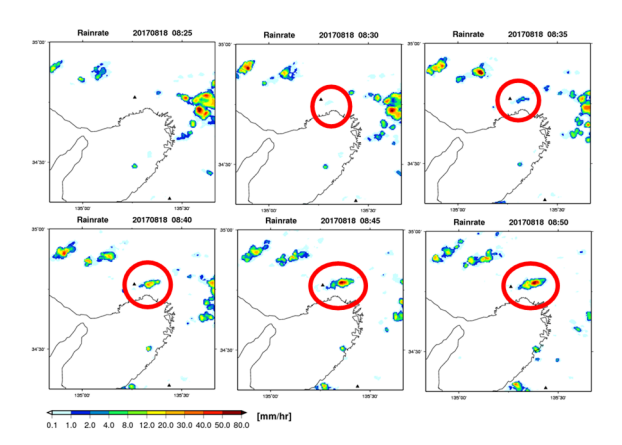


Fig.27 Rainfall rate around August 18 8:25 to 8:50 around Kobe city.

5.1.2 Ka バンドレーダーと XRAIN の比較

ここでは、Ka バンドレーダーと XRAIN が、今回対 象とする積乱雲をどの段階から捉えていたのかにつ いて比較を行う. 5分間隔で出力される CAPPI デー タを用いて作成した Ka バンドレーダーと XRAIN そ れぞれの3次元レーダー反射強度をFig.28, Fig.29に 示す. これらを用いて, 比較を行った. Ka バンドレ ーダーでは 8:25 頃に高度 2000 m において, ZHH が 0 ~10 dBZ の値でファーストエコーが観測された. こ の段階においては、XRAINでは観測がされておらず、 雲水のみが形成されていると考えられる. 8:30 頃に は高度 3000 m において, Ka バンドレーダーでは, $Z_{\rm HH}$ が $0\sim25~{\rm dBZ}$ の値で観測された. この時刻にお いて、XRAIN はファーストエコーが確認され、高度 1000 m において、ZHHが 0~14 dBZ の値で観測され た. この段階で、雲水に加え雨水が形成されおり、 地上降雨が発生した. 8:35 頃には, Ka バンドレーダ ーでは高度 3000 m において Z_{HH} が 0~35 dBZ の値 が, XRAIN では, 高度 3000 m において, Z_{HH} が 0~ 28 dBZ の値で観測された. この段階で, 10 mm/hr 程 度の地上降雨が発生していた. その後, 積乱雲は発 達し, 8:50 頃には, Ka バンドレーダーでは雲頂高度 が 8000 m まで達しており、ZHHが 0~40 dBZ の値が 観測された. この時 XRAIN では, 高度 8000 m にお いて Z_{HH} が 0~15 dBZ の値が,対流性コア部と考え られる高度 2000~3000 m において ZHH が 50 dBZ 程 度の値が観測された. 地上降雨強度は 50 mm/hr 程度 が観測されていた.

5.1.3 ひまわり8号

ここでは、ひまわり 8 号を用いた解析を行う. Fig.30 にひまわり 8 号の可視 (B03) チャンネルのア ルベドと赤外 (B13) チャンネルの輝度温度を示す. B13 チャンネルによって, 8:00 頃から淡路島の北端 部分周辺から, 北東よりの風によって輝度温度が 280~285 K の雲域が流入しているのが見られる. こ れに対応するものとして, B03 チャンネルによって, 0.2~0.3 程度のアルベドが観測されている. この段 階で,雲が形成されていると考えられ,その後も南 西から流入が続いている. 地上降雨が発生した, 8:30 頃には B13 チャンネルでは 275~280 K が, B03 チ ャンネルでは 0.5 程度のアルベドが観測された. そ して, 地上降雨強度が 50 mm/hr が観測された 8:45 に おいて B13 チャンネルでは 270~275 K が観測され た. このように、降雨発生以前の段階から、雲の発 生・発達のシグナルが観測されていることがわかる.

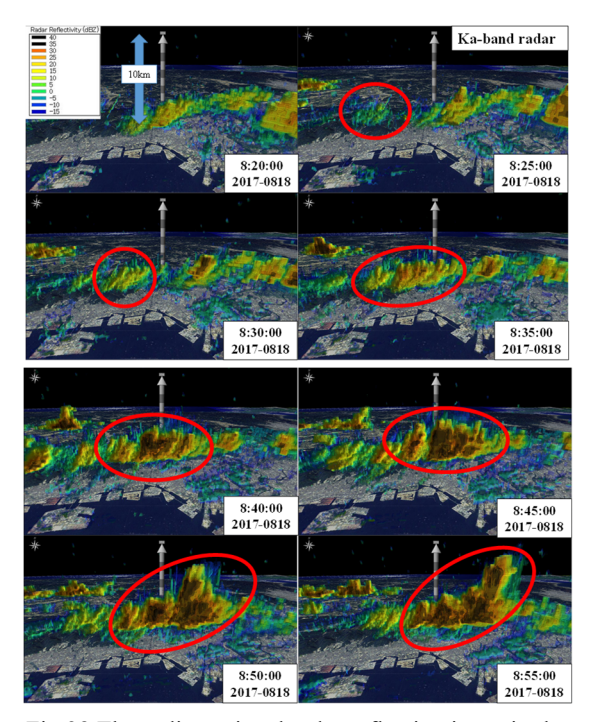


Fig.28 Three-dimensional radar reflection intensity by Ka band radar.

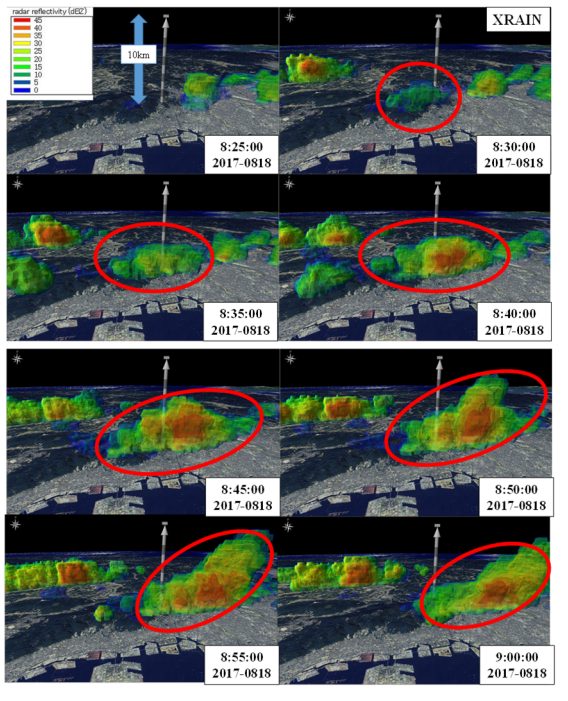


Fig. 29 Three-dimensional radar reflection intensity by XRAIN.

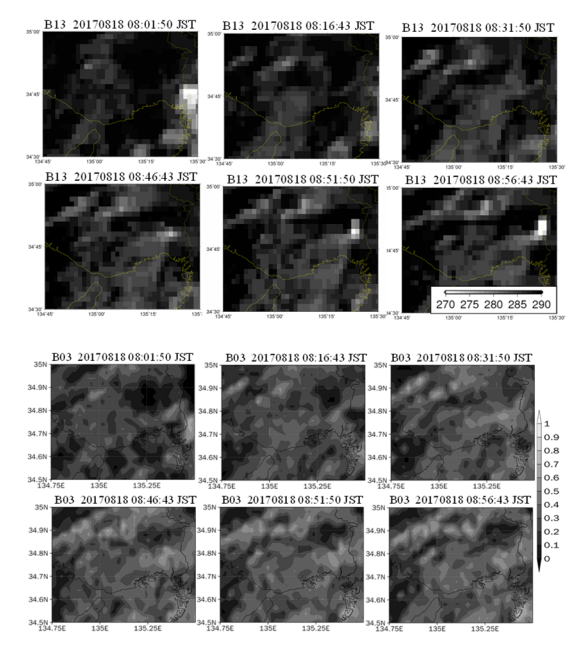


Fig. 30 Comparison of B13 (upper) and B03 (lower) observed by Himawari-8.

5.2 観測値の作成方法

ここでは、観測された情報から、どのようにモデル変数に変換を行い、同化計算を行うことについて述べる.

5.2.1 ひまわり8号

ここでは、ひまわり 8 号の観測データを用いて観測値を作成する方法について述べる。本研究では、大塚ら(2018)の手法を参考に観測値を作成した。まず始めに、大塚ら(2018)のひまわり 8 号最適雲解析(OCA: Optimal Cloud Analysis)を用いた手法について説明する。ひまわり 8 号最適雲解析は、観測される放射量から高速放射伝達モデル計算を用いたインバージョン解析(最尤推定法)によって、雲頂高度、雲の光学的厚さや雲水有効半径などを推定する。OCA プロダクトの雲頂高度と光学的厚さ、雲水量を用いて雲低高度を推定し、雲底と雲頂の間を湿度 95%に置き換えて、湿度データを作成し、データ同化が行われた。

一方、本研究での同化方法の概略を説明する. 気象庁が作成した高分解能雲情報とひまわり 8 号のB13 チャンネルのデータを用いて雲頂高度を、モデルの出力を用いて雲低高度を算出する. 高分解能雲情報雲情報とは、ひまわり 8 号で新たに追加される多数のバンドを活用して、雲の有無・ダストの有無、雪氷の有無、雲型、雲頂高度の情報を赤外バンド 1 ピクセル相当の 0.02 度×0.02 度の解像度で、毎時 1 回ごとに提供しているデータである. 高分解能雲情報については Suzue et al. (2016) に示される. また、

Mouri et al. (2016) では、雲頂高度の算出方法記載さ れている. 本研究では, 2017年8月18日9時にお ける雲頂高度の情報とB13 チャンネルの輝度温度の 関係式を作成した. 理由としては、雲頂高度の情報 が毎時1回毎にしか算出されていないため、本実験 では 2.5 分間隔で同化を行うために、関係式を作成 した. 高分解能雲情報による雲頂高度とひまわり 8 号の B13 チャンネルの輝度温度をプロットしたもの を Fig.31 に示す. この作成した関係式を用いて, 各 時刻における雲頂高度を算出する.雲底高度は, CReSS の 8 月 18 日 9 時の出力を用いて, オフライ ンで LCL を算出し、その高度を雲底高度とした. 算 出した雲頂高度を Fig.32 に示す. 本事例において算 出した LCL は約 1200 m であった. 雲底と雲頂の間 を相対湿度90%とし擬似湿度データを作成した.作 成した擬似湿度データとモデルの相対湿度を比較し, モデルの相対湿度が90%以下の領域に対して、デー タ同化を行う. その同化領域において, モデルの出 力を用いて相対湿度 90 %から水蒸気混合比 qv を算 出し、同化を行った. 相対湿度を90%にした理由と しては、95%として、同化実験を行った際に過剰に 降雨が発生したためである. またモデルにおいて相 対湿度が 90 %以下の領域のみを同化した理由とし ては、雲が形成されている、相対湿度90%以上の領 域の水蒸気を抑制すると考えられたためである.

今回, ひまわり 8 号の水蒸気に感度があるチャンネルではなく, 赤外チャンネルを用いて相対湿度データを作成したのは, 今回の事例において, 双方のチャンネルの画像を比較すると, 赤外チャンネルが降雨発生以前に雲域のシグナルを捉えられたと考えためである.

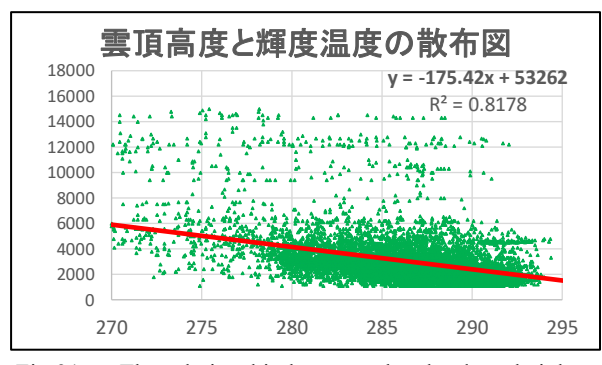


Fig.31 The relationship between the cloud top height and the luminance temperature is shown.

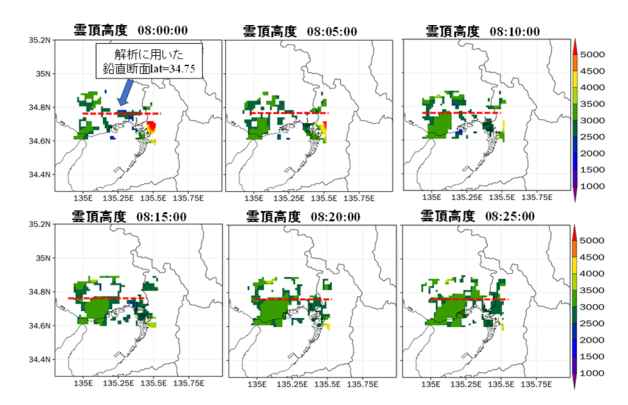


Fig.32 Distribution of cloud top height calculated using the created relation.

5.2.2 Ka バンドレーダー

Ka バンドレーダーによって観測された反射強度 を用いて雲水混合比 qc を推定し、同化計算を行う. ここでは、qcの算出方法について述べる. Khain et al. (2008) によって行われた、観測された粒形分布の データを用いて算出した Z-LWC の関係を用いた. 作 成された Z-LWC の関係を Fig.33 に示す. この図で は色によって雲のどの部分の観測点であるかが示さ れている. 緑色は LCL よりも低い高度, 青色は雲の 中心から雲底部, 黄色は中心から雲頂部における観 測点である. 今回の事例では、LCL以下の観測点の 影響が少なく, また, 発達する積乱雲の性質が近い と考えられる黄色の点によって形成されている経験 式の方が適切であるとした. また, Ka バンドレーダ ーの感度の閾値として, -20 dBZ としていることか ら,今回はFig.33 における Line B の以下の式を用い て Z-LWC の関係を算出した. Z は反射強度[dBZ], LWC は液水量[g/m³], q_c は雲水混合比[g/kg], ρ は大 気密度[kg/m³]を示す.

$Z = 57.54 \text{LWC}^{5.17} \ q_c = \text{LWC}/\rho$ (2)

そして、モデルの出力から、各高度における大気密度をオフラインで計算し、雲水混合比を算出し、データ同化を行った。作成した観測値の例を Fig.34 に示す.

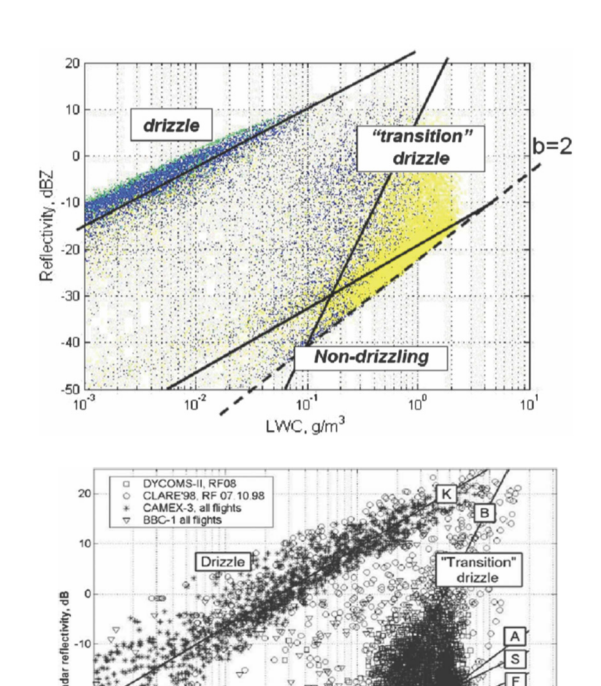


Fig.33 Relationship between reflection intensity and LWC calculated from particle size distribution (Khain *et al.* (2008))

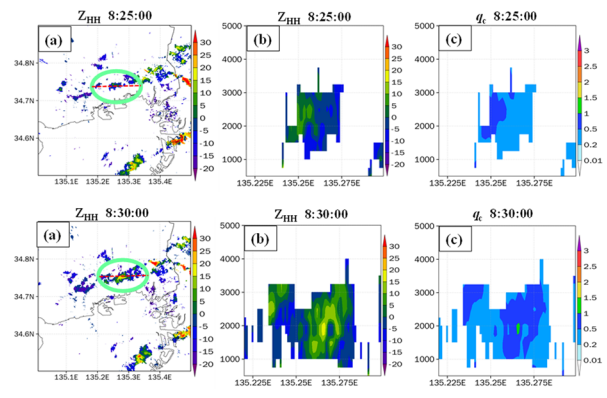


Fig.34 (a) Horizontal cross section of reflection intensity at an altitude of 2000 m

- (b) Vertical section of reflection intensity at the red broken line shown in (a)
- (c) Vertical section of the calculated cloud water mixing ratio in the red dashed line shown in (a)

5.2.3 XRAIN

XRAINによって観測された反射強度を用いて、以下のように雨水混合比を算出する.

Sun and Crook (1997) より、

$$q_{\rm r}^{\rm obs} = \frac{1}{\rho} \times 10^{\frac{Z-43.1}{17.5}},$$
 (3)

を用いて雨水混合比 $q_r^{obs}(g/kg)$ を推定する.ここで、Z はレーダー反射因子(dBZ), ρ は大気の密度 (kg/m^3) である.モデルの予報変数に直接同化するため観測演算子は次式の通りである.

$$q_{\rm r}^{\rm obs} = q_{\rm r}^{\rm model}$$
 (4)

式 (3) は、Marshall-Palmer 型の雨滴粒径分布を仮定 しているため、データ同化は 0 度高度より下層のみ に適用する.

今回の同化実験では、閾値を 20 dBZ とし、閾値以上を抽出して、観測値を作成した. 作成した観測値の例を Fig.35 に示す.

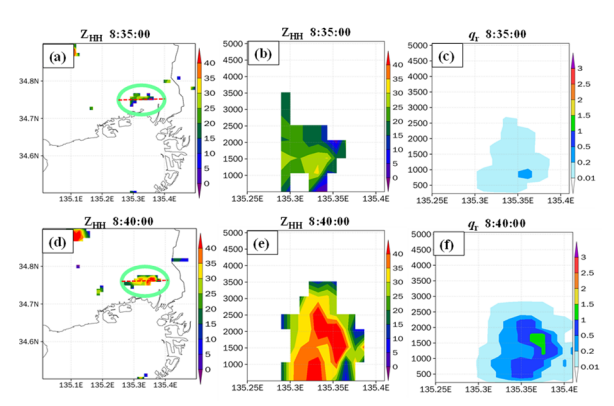


Fig.35 Reflection intensity observed by XRAIN

- (a) (d) Horizontal section at an altitude of 2000 m
 - (b) (e) Vertical cross section at lat = 34.77
- (c) (f) Calculated rain water mixing ratio [g / kg].

5.3 同化の方針と目的

Table 8 に実験名と同化する変数について、Table 9 に 観測機器によって得られた観測値と同化した変数を、Fig.36 に今回の実験における同化期間と予測期間を示す。本研究の目的としては、従来の降水レーダーで観測されるよりも前の段階である、積乱雲発達初期の雲情報をデータ同化することの影響を評価することである。そこで、本事例に対して、8:00~8:30 を 積乱雲発達初期,8:30~8:35 を積乱雲成熟期と考え、各観測機器の同化期間を設定した。ひまわり 8 号は 8:00~8:30 の期間において 2.5 分間隔、Ka バンドレーダーは 8:25~8:30 の期間において 5 分間隔で、同 化実験を行う。また、今回モデルの解像度が 1km に

対して、ひまわり 8 号の解像度は 2km, Ka バンドレーダーの解像度は Beam 方向では 75m, Azimuth 方向では 0.35°である. また従来の降水レーダーの比較を行うために、XRAIN を用いた同化実験も行う. 今回の同化実験の目的としては、ゲリラ豪雨予測精度向上に向けて、ゲリラ豪雨が発達・維持される環境場と、発生するトリガーの再現性の向上を目指している. この対象とする領域に概念図を Fig.37 に示す.

Table 8 Experiment name and assimilation experiment setting

実験名	同化する変数
ケース noDA	
ケース rh	相対湿度:rh
ケース qc	雲水混合比:qc
ケース rh.qc	相対湿度:rh
	雲水混合比:qc
ケース qr	雨水混合比:qr

Table 9 Observation equipment and observed values, calculated assimilation variables

想定する観測機器	用いた観測値	同化する変数		
ひまわり8号	輝度温度	相対湿度:rh		
Kaバンドレーダー	反射強度	雲水混合比:qc		
XRAIN	反射強度	雨水混合比:qr		

同化期間 Assimilation		雲情報	を用	いた同	化期	間			予測期間
時刻	8:00:00		8:25	5:00	8:2	7:30	8:30:00		8:45:00~9:00:00
降雨状況							降雨発生		50mm/hr
ひまわり8号 :rh	同化開始	2.5分間隔	同化		同化		同化終了		
Kaレーダ:qc			同化	開始			同化終了		
同化期間 Assimilation	従	従来の同化期間・・・・・・・・・・・・・・・・・・・・・・・・・・・・・・・・・・・・							
時刻	8:35:00	8:37	:30	8:40	:00		8:45:00~9	:00:	00
降雨状況	5mm/hr			20mm	/hr		50mm/	hr	
XRAIN:qr	同化開始			同化約	冬了				

Fig.36 Assimilation period and prediction period in this experiment



Fig.37 Conceptual diagram of the purpose of this assimilation experiment

5.4 同化実験の設定

本実験で用いる実験設定について述べる. まず, CReSS の設定について述べる. 初期時刻を8月18日 3 時, 水平解像度を 1 km (350 × 350 格子), 鉛直方 向には平均的に 250 m (ただし, ストレッチングを かけて下層を細かくとり、最下層では150 mとし全 64層となっている)とし、予測を開始する.計算領 域は Fig.38 に示すように, 東西が東経 133.70 度から 137.1 度の区間,南北は北緯 32.9 度から 35.8 度の区 間を対象とし設定した. 初期値, 境界値は予測開始 時刻の気象庁 GPV の MSM の水平風, 気温, 相対湿 度を用いた. また海面水温は気象庁 NEAR-GOOS デ ータを用いた. 同化期間としては, Fig.36 に示すよ うに、ひまわり8号から算出した相対湿度は8:00~ 8:30 の期間において 2.5 分間隔で 12 回, Ka バンド レーダーから算出した雲水混合比は 8:25~8:30 の期 間において5分間隔で2回同化を行った. local pacth は、水平方向15メッシュ、鉛直方向4メッシュとし た. また, アンサンブルメンバー数は31とし, サン プリングエラーはなく同化実験が行われた.

5.5 同化なしアンサンブルメンバーについて

ここでは、データ同化を行わないアンサンブルメンバーではどのようなメンバーが存在していたかについて述べる。Fig.26 に示されるように、今回の対象事例は大規模な降雨場が通過した後に、発生した積乱雲を対象としている。そのため、同化期間と予測期間において、アンサンブルメンバーの約半分は、大規模な降雨場は発生して、それが維持されているメンバーであった。一方で、Fig.39 に示すように、残りの半分のメンバーは noDA10 のように降雨があまり発生していないメンバーや、単一の積乱雲による降雨が発生しているメンバーが存在していた。Fig.40に示すように、アンサンブル平均としては、大規模な降雨場が発生していたメンバーの影響で、大阪と神戸を中心に降雨が確認された。

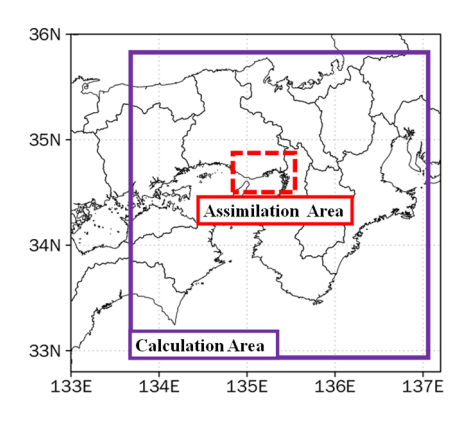


Fig.38 Calculation area and Assimilation area.

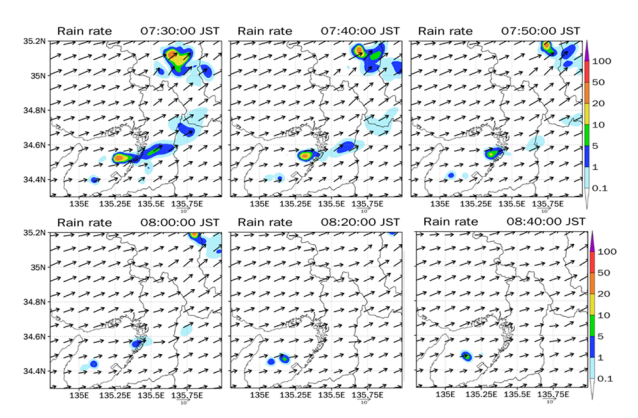


Fig.39 Rainfall rate of noDA10 (CReSS)

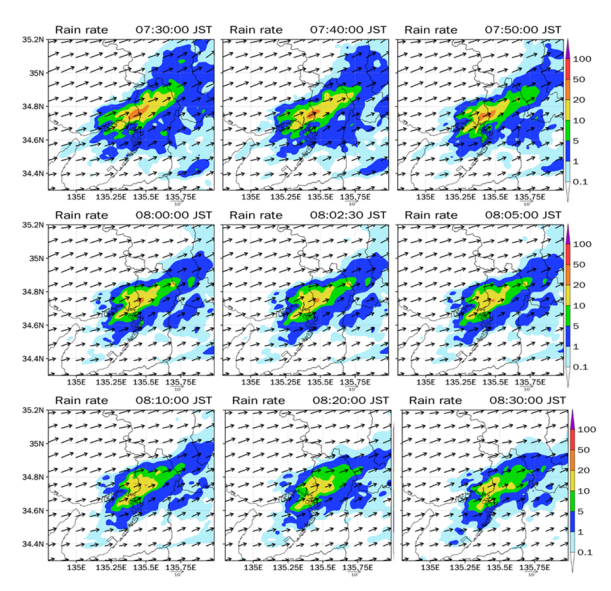


Fig. 40 Rainfall rate of ensemble mean in case noDA.

5.6 降雨強度の比較

ここでは、各同化実験における降雨強度を比較する. 5.5 に示したように、今回作成したアンサンブルメンバーには 8:00~9:00 で、同化領域において強い降雨が発生していたメンバー・降雨が発生していなかったメンバーがそれぞれ存在していた。そこで、ここでは、降雨強度の変化が確認されやすいと考えられる降雨が発生していなかった 1 メンバーの挙動について示す。

5.6.1 降雨が発生していなかったメンバーの 比較

次に、ケース noDA において、同化領域で降雨が発生していなかったメンバーについて述べる。

ケース rh における降雨強度を Fig.41 に示す. 緑色の円で囲んだように、8:05 において最大降雨強度 50 mm/hr の強い降雨が広範囲で発生した. その後、8:15 までは 20 mm/hr 以上の降雨が維持されたが、そのまま衰退していき、 $10\sim20$ mm/hr の最大降雨強度を持

ち,降雨範囲は小さくなっていった. 8:05 に発生した以降,新たに発生・発達した強い降雨は確認されなかった.

ケース qc における降雨強度を Fig.42 に示す. 8:25 における同化の影響によって, 8:25 では 5 mm/hr 以 下の降雨が、8:27:30 では 20~50 mm/hr の降雨が確 認された. Fig.34 から、8:25 に同化した q_c の値は最 大 0.5~1.0 g/kg であり, Ka バンドレーダーの反射強 度では 15 dBZ である. 今回の事例においては, この 値を同化することの影響が大きいと言える. そして, 8:30 の同化を経て、8:35 には降雨強度が弱まったも のの、上昇流が維持された結果発達し、8:45 には 20 mm/hr 以上の降雨が発生し、その後も降雨が発達・ 維持された.この qc10 で見られたような挙動は他の 降雨があまり発生していなかったメンバーの多くで 確認された. ケース rh.qc では, Fig.43 に示すように, 赤い丸で囲った領域が qc同化、緑の丸で囲った領域 がrh同化による影響を受けている降雨域であると考 えられる. ケース rh.qc における qc 同化によって形成 された降雨域はケース q_c と比較して、降雨強度が弱 く,ピークの継続時間も短かった.これは、ケース rh で見られた下降流が支配的な場となっていること によって、積乱雲の発達・維持が抑制されてしまっ たと考えられる. ケース q_r の降雨強度を Fig.44 に 示す. 8:35 での同化によって 10~20 mm/hr の降雨が 発生するも, その後降雨は発達せず, 衰退していっ た. 同化直後は降雨の発生や,降雨が強められるこ とが確認された. しかし, ケース q_c と比較すると, 降雨強度のピークは弱く,降雨の継続時間も短かっ た.

5.6.2 降雨強度の比較まとめ

ケースrhでは、同化によって上空の水蒸気の増加と、湿潤な空気が上空に持ち上げられたことによって、 $8:05\sim8:10$ と降雨開始以前に広範囲で強い降雨が発生した。ケース q_c では、降雨開始以前の同化開始直後から降雨が発生したものの、その後積乱雲は発達・維持された。アンサンブル平均では、 $20 \, \text{mm/hr}$ 以上の降雨が確認され、このことから q_c 同化が与える効果が大きいと考えられる。ケース $rh.q_c$ では、双方の効果が反映された効果となり、予測期間においては、 q_c 同化によって積乱雲が発生しているものの、rh同化の影響でケース q_c と比較して発達・維持はしなかった。これらの原因の解明にむけて、アンサンブル平均の出力を用いて、積乱雲発達に寄与が大きいと考えられる変数に対して解析を行っていく。

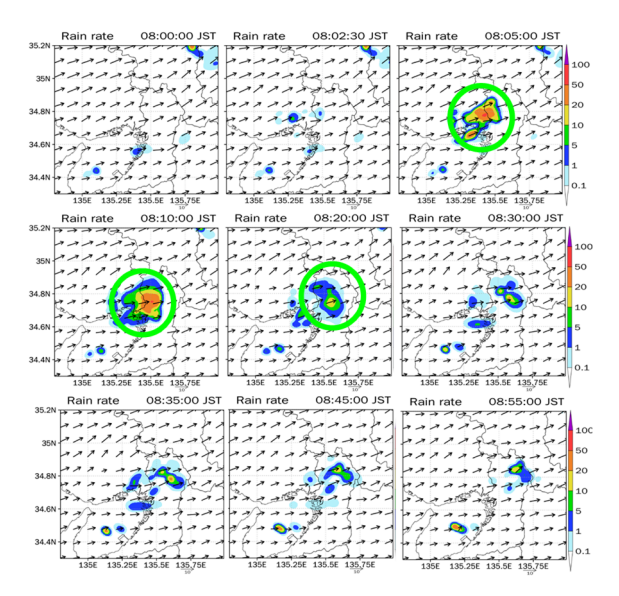


Fig.41 Rainfall rate of rh10 (CReSS)

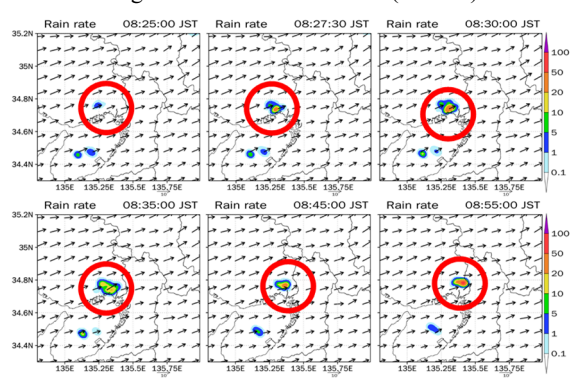


Fig.42 Rainfall rate of qc10 (CReSS)

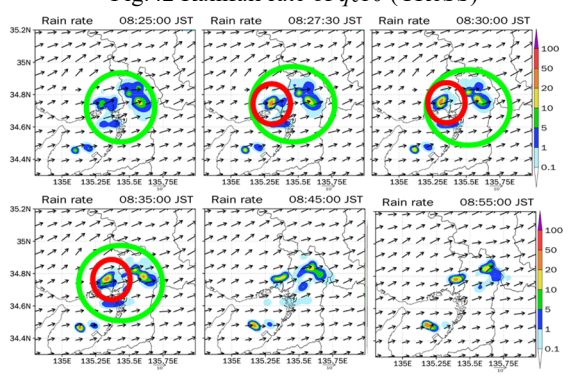


Fig.43 Rainfall rate of rh.qc10 (CReSS)

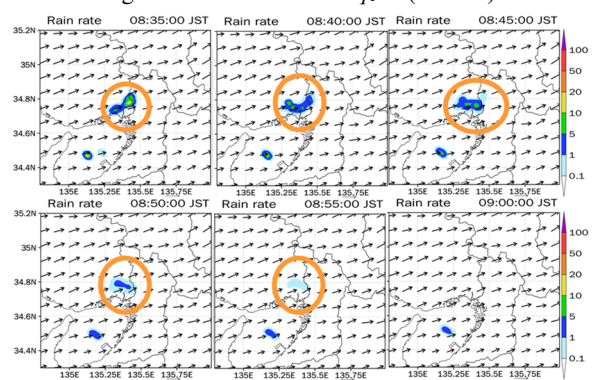


Fig.44 Rainfall rate of q_r 10 (CReSS)

5.7 環境場の解析方法

次節以降で行う環境場の解析の方針について示す. 同化に用いた観測値に応じて,同化による影響が大きく見られた変数における解析結果を示す.

ケース rh, ケース q_c , ケース rh. q_c では,積乱雲発達初期段階において変化が見られた,相対湿度,水蒸気,相当温位,上昇流に着目した.一方ケース q_r では,雲水混合比,雨水混合比,相当温位,上昇流に着目した.

5.8 相対湿度の鉛直断面の比較

Fig.45 にケース noDA の, Fig.46 にケース rh にお ける同化前後の lat = 34.75 でのアンサンブル平均で の相対湿度の鉛直断面を示す. 8:00 における同化で lon = 134.90~135.40 の領域は概ね相対湿度は 90 % 程度になった. lon=135.5 周辺では, 高度 6000 m 程 度まで相対湿度が 80 %以上の湿潤な空気の領域が 形成された. その後も相対湿度の極大域の存在高度 は高くなり、8:10 では湿潤な空気が 8000 m に達し た. 8:05 と 8:10 における同化前後を比較すると, 各 ステップ同化前の段階で、同化領域が概ね90%以上 であるため, 同化による変化はあまり確認されなか った. つまり 8000 m まで湿潤な空気が達したのは, 8:00 での同化による影響であると考えられる. また, 8:05 における lon = 135.25 では周囲と比較して、湿 潤な空気が持ち上がっていることがわかる.これは, 8:00 における lon = 135.125 周辺の極大域と対応して おり、こちらも8:00における同化の影響であると考 えられる. しかし、この領域周辺における湿潤な空 気は 8:10 で高度 4500 m に達した後,下降を続けて いった. また, 相対湿度が大きく増加した 1500 m~ 3000 m においては、水蒸気量の増加が確認された. Fig.48 に同化なしにおける水蒸気の水平断面を Fig.49 に rh 同化における水蒸気の水平断面を示す. この同化領域において急激に水蒸気が発生したこと によって、8:05:00~8:10:00 において、大規模な降雨 が発生したと考えられる.一方で、今回同化の影響 があまり見られない、lon=134.90~135.40の約 4000 m 以上の高度においては、Fig.47 に示すように上空 から, 相対湿度の低い乾燥した空気が下降してきて いる. 同化期間だけでなく, 予測期間においてもこ の上空から乾燥した空気が下降する傾向が継続され た. そのため、降雨の発生が抑制される結果になっ たと考えられる.

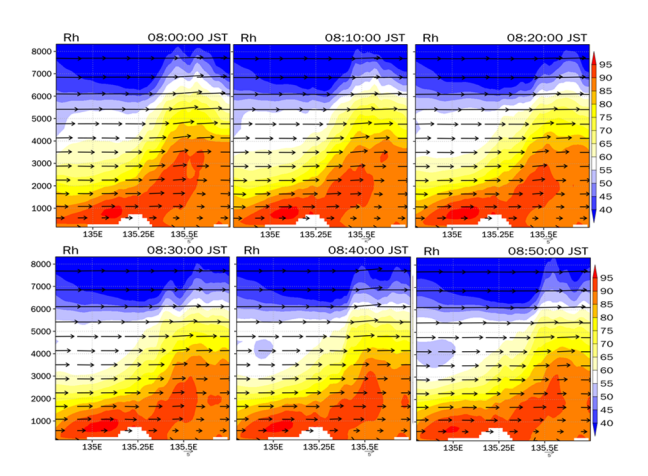


Fig. 45 Vertical section of relative humidity at lat = 34.75 in the case noDA (8:00 to 8:50).

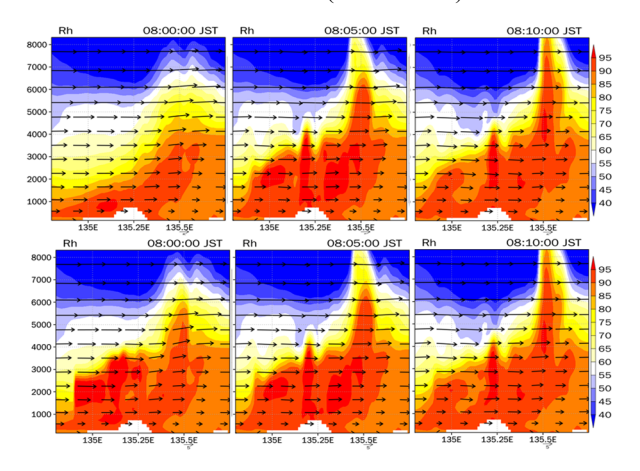


Fig.46 Vertical section of relative humidity in case rh (upper: before assimilation, lower: after assimilation).

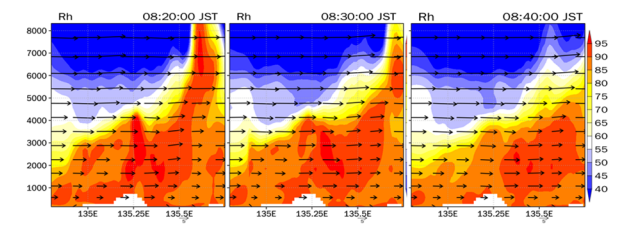


Fig.47 Vertical cross section of relative humidity in case rh

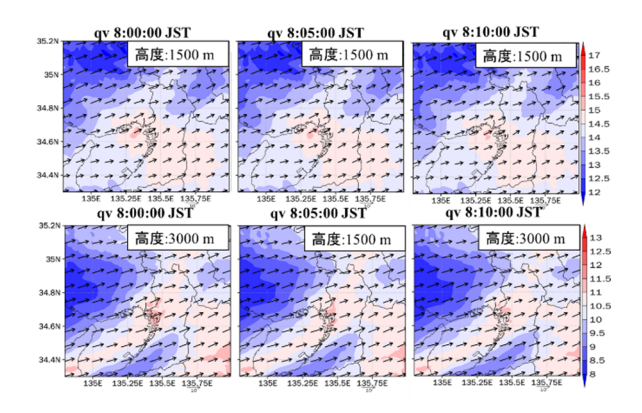


Fig.48 Water vapor mixing ratio in horizontal section in case noDA (upper: 1500 m lower; 3000 m higher).

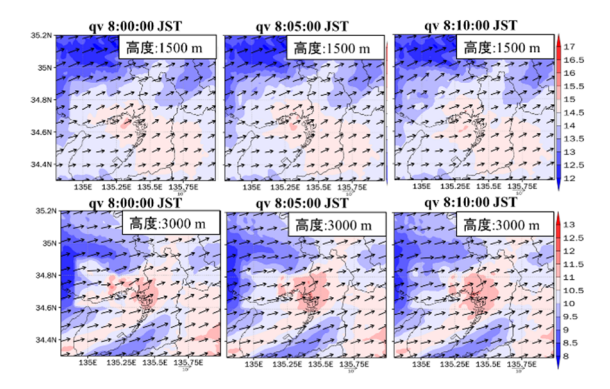


Fig.49 Water vapor mixing ratio in horizontal section in case rh(upper: 1500 m lower; 3000 m higher).

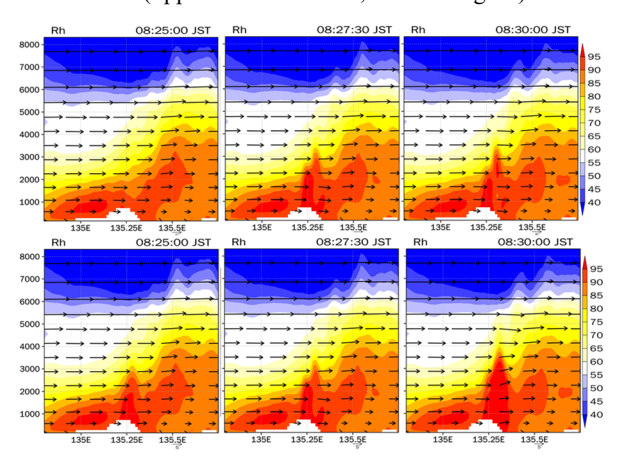


Fig. 50 Vertical cross section of relative humidity at lat = 34.75 in case q_c (8:25 to 8:30) (upper: before each step assimilation lower: after each step assimilation).

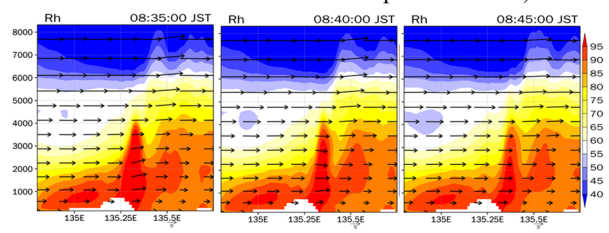


Fig. 51 Vertical section of relative humidity at lat = 34.75 in case q_c (8: 35 to 8: 45).

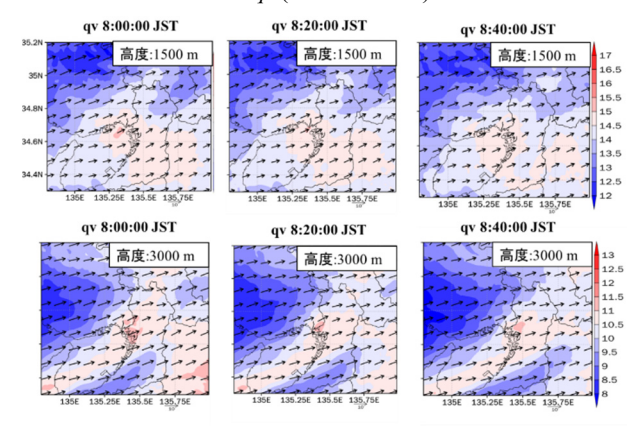


Fig.52 Water vapor mixing ratio of horizontal section in case noDA

(upper: altitude 1500 m lower: altitude 3000 m).

次に Fig.50 にケース q_c における同化前後の lat = 34.75 における相対湿度のアンサンブル平均の鉛直 断面を示す. この断面における観測値は Fig.34 に示 す. 8:25 における同化によって, lon=135.25 を中心 に相対湿度が増加した.雲の中心では,95%程度の 値となっており、最下層から湿潤な空気な環境場が 作成された. その後, 次の同化ステップである, 8;30 まで相対湿度の極大値が確認された. そして, 8:30 に おける同化によって, lon=135.25 付近における,湿 潤な空気は高度 4500 m まで形成された. その後も, Fig.51 に示すように、この鉛直断面で 8:45 において も、この湿潤な空気が最下層から持ち上げられてい るのが確認された. ケース rh と同様に相対湿度の増 加が見られた 1500 m~3000 m においても, Fig.52 と Fig.53 に示すように,ケース noDA と比較すると, 水蒸気の極大域が確認された. また, ケース rh では 水蒸気の増加が確認されなかった高度 750 m におい ても、Fig.54 に示すように水蒸気の極大域が確認さ れた. このことから,最下層からの水蒸気の維持が 行われていたと考えられ,その結果ケース gc におけ る降雨強度の維持が行われたと考えられる.

ケース $\text{rh.}q_c$ では、 q_c 同化が始まる 8:25 までにケース rh で確認された特徴の環境場が形成された.そのため、 q_c 同化によって Fig.43 に示したように、単一の積乱雲が確認されたが、ケース q_c と比較して降雨強度は弱く、また降雨の継続時間も短くなる結果になったと考えられる.

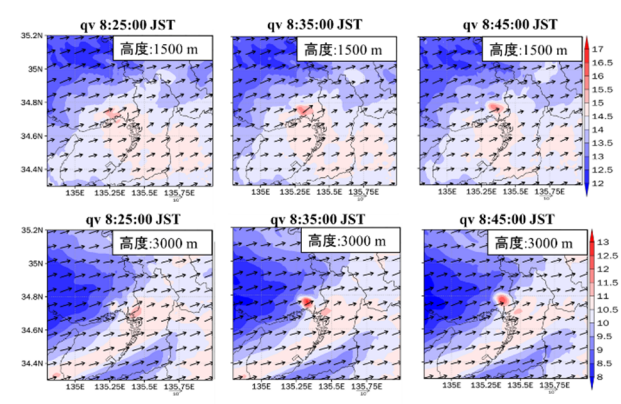


Fig.53 Water vapor mixing ratio of horizontal section in case q_c (upper: altitude 1500 m, lower: altitude 3000 m).

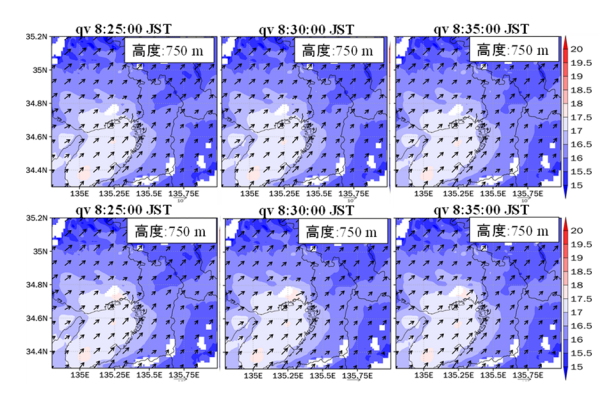


Fig.54 Water vapor mixing ratio (altitude 750 m) of horizontal section (8:25 to 8:50) (upper stage: case no DA lower stage: case qc).

5.9 相当温位と上昇流

ケース noDA おける lat = 34.75 の相当温位と上昇流のアンサンブル平均での鉛直断面を Fig.55 に示し、同化実験の結果の比較しながら解析を行う.

Fig.56 にケース rh における同化前後の相当温位と 上昇流の鉛直断面を示す. 8:00 での同化によって, Fig.46 に示したように、lon = 134.90~135.40 の同化 領域では相対湿度が増加している. そのため, 図 5.38 でも高度 1000 m~4000 m において相当温位の増加 が見られ, また概ね上昇流が強化された. この時刻 における同化以降においては、同化前後における変 化はあまり見られなかった. そのため, これ以降に おける現象は、モデルの予報によってもたらされた といえる. 8:00 以降は, lon=135.30~135.6 における 上昇流は維持された一方で、lon = 135~135.20 では 下降流が支配的な場となった. ケース noDA と比較 すると下降流が支配的な場になったことが同化によ る影響であると考えられる. この原因として, Fig.49 に示すように、この領域における 3000 m の水蒸気が 増加や、Fig.46 のように湿潤な空気が上空まで持ち 上げられた結果, Fig.41 のように降雨が発生したか らであると考えられる. Fig.57 に示す, 同化期間最 後の 8:30 の鉛直断面では、lon = 135.5 を中心に高度 2000 m 以上で上昇流が確認される一方で, 高度 2000 m以下では明瞭な上昇流が見られなかったことと, 注入側で下降流が形成されていたため, 予測期間に おいて、降雨が発生・発達するメンバーが少なかっ たと考えられる.

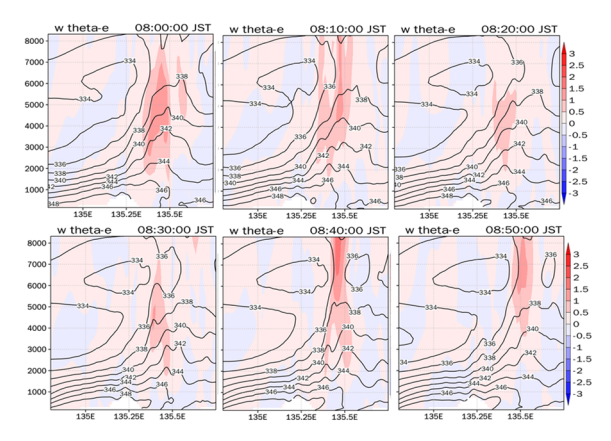


Fig.55 Vertical section equivalent potential temperature (contour) upflow (shaded) (8:00 to 8:50) in case noDA (upper: before each step assimilation lower: after each step assimilation).

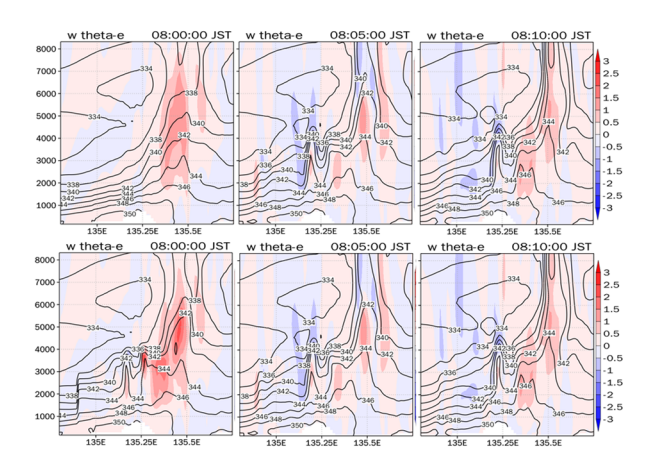


Fig. 56 Vertical section equivalent potential temperature (contour) upflow (shaded) (8:00 to 8:10) in case rh (upper: before each step assimilation lower: after each step assimilation).

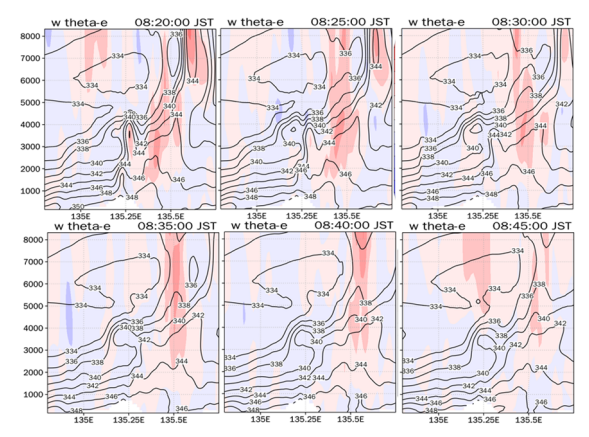


Fig.57 Vertical section equivalent potential temperature (contour) upflow (shaded) (8:20 to 8:45) in case rh (upper: before each step assimilation lower: after each step assimilation).

次に Fig.58 にケース q_c における同化前後の lat = 34.75 における相当温位と上昇流のアンサンブル平 均における鉛直断面を示す. 8:00 での同化によって, lon = 135.25 を中心に最下層から高度 2700 m 付近ま で上昇流が形成され,また相当温位も増加した.上 昇流の周囲には、0~0.5 m/s 程度と弱い下降流が形 成された. その後, Fig.42 に示すように, 降雨発生に よって、8:30 同化前の段階においては、lon = 135.25 周辺では、上昇流が存在している一方で、下降流の 方が強くなっていた. 8:30 同化後では、この上昇流 と相当温位の極大域がデータ同化によって, 強めら れた. 周囲と比較して相当温位が増加している領域 で上昇流が支配的になり, 上昇流は最下層から高度 3000 m まで確認された. 高度 3000 m 以上では下降 流が確認されたものの, 時間が経過しても形成され た最下層から存在している上昇流は維持された.維 持された要因としては、4.6の環境場の比較で述べた ように、同化期間最後の 8:30 における lon = 135.25 周辺で、上昇流が発生している周囲において下層で 相対湿度が90%以上の湿潤な空気が満たされており、 相当温位の極大域の全域で上昇流が最下層から発生 したことによって, 最下層からの上昇流が維持され たと考えられる. 以上のことから, qc と相当温位や 上昇流には正誤差相関があったと考えられる. Fig.60 に, 12:40 における lat = 34.75 · lon = 135.32 · 高度 2000mでの同化した qc と各変数における誤差共分散 を示す.この点を抽出した理由は二つある.一つ目 は、Fig.58 に示したように、この地点において相当 温位の増加の上昇流の形成が確認されたこと. 二つ 目は同化した q_c の観測値が 1.0g/kg と大きな値を示 していたからである.変数としては,上昇流に加え, 相当温位に寄与が大きい水蒸気混合比と温位を選ん だ. 今回 31 メンバー中, 多くのメンバーの qc の値 が 0 であり、ばらつきはあまりなかったと考えられ る. 上昇流と水蒸気混合比では, 正の誤差相関が見 られ, 温位では, 負の誤差相関が見られた. これは, 積乱雲発達初期の qc形成され始めている段階で,水 蒸気混合比が増加し, また上昇流が形成されている 特徴が示されている.一方, qc が形成され, 凝結熱 が発生すると温位が高くなるが, 今回は多くのメン バーで qcの値が 0 であったことから、まだ凝結熱は 発生していないと考えられる.一方で、上昇流が発 生しているため,下層から周囲と比較して低い温位 の空気塊が持ち上げられ, その結果温位が減少する ことが, 負の誤差共分散となって示されていると考 えられる.

ケース $rh.q_c$ ではケース q_c と同様に同化によって相当温位と上昇流の増加が確認された。しかし、同時にケースrhで見られたような下降流が広域に存在し

ていた. そのため、ケース q_c と比較して、上昇流は維持されず、降雨があまり発達しなかったと考えられる.

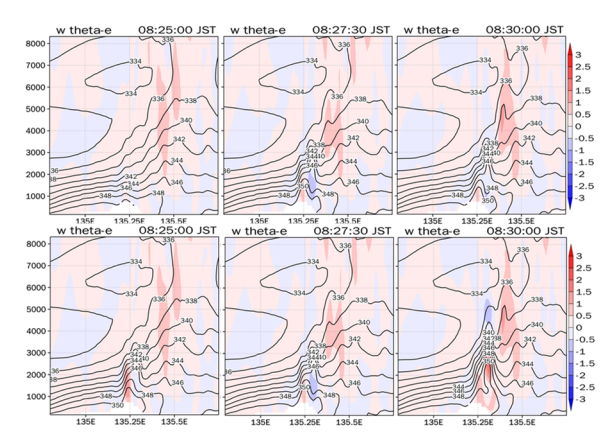


Fig.58 Vertical section equivalent potential temperature (contour) upflow (shaded) (8:25 to 8:30) in case q_c (upper: before each step assimilation lower: after each step assimilation).

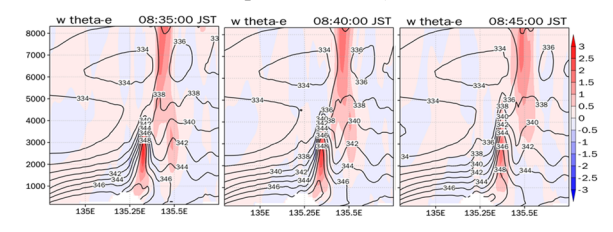
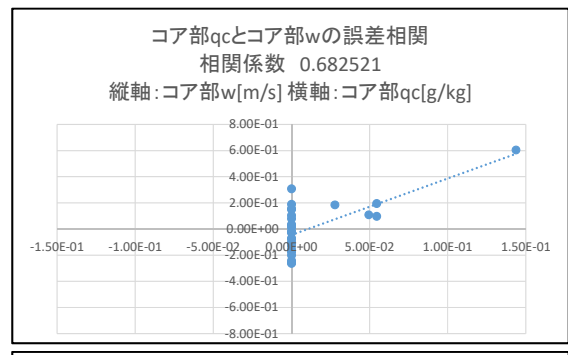
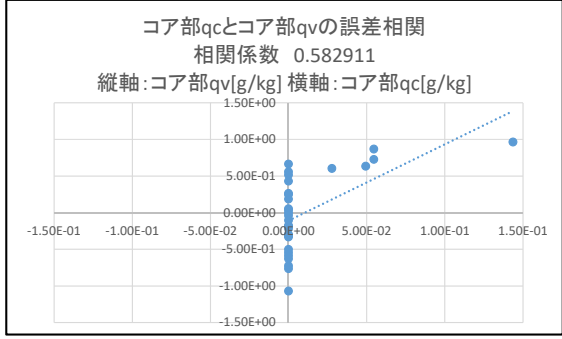


Fig.59 Vertical section equivalent potential temperature (contour) upflow (shaded) (8:35 to 8:45) in case q_c (upper: before each step assimilation lower: after each step assimilation).

ケース q_r では、Fig.61 に示す相当温位と上昇流の 鉛直断面で確認されるように、相当温位や相対湿度 の増加も見られず、8:40 で雲水混合比が形成された 領域では弱い上昇流が形成されたものの, 雨水混合 比が形成された領域では上昇流が形成されていなか った. これは、雨水混合比と上昇流の誤差相関構造 が原因であると考えられる. つまり, 雨水混合比と 上昇流に対する相関があまりなかったと考えられる. これは、雨水混合比が高い値を持つ領域では、積乱 雲が発達している段階では上昇流が発生しているが, 降雨が起こっている時は下降流が発生するからでは ないかと考えられる. これに加えて、観測値の qrの 分布している高度が 2000 m 以下で低く, 高度 3000 m~4000 m まで同化による影響がなかったことも, ケース qrで降雨があまり発達しなかったことに寄与 しているのではないかと考えられる.

ケース q_c では Fig.58 に示すように、相対湿度や相当温位・上昇流の環境場の変化が見られ、その結果、 積乱雲が発達した. しかし、ケース q_c では相対湿度・ 上昇流の変化があまり見られず、積乱雲が発達しなかった. その結果、雨水混合比という降雨に直結しているような値が増加する一方で、発達する環境場が形成されなかったと考えられる.





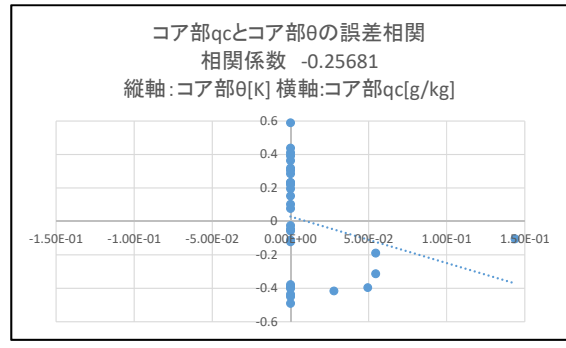


Fig. 60 Cloud water mixing ratio (q_c) and error correlation of each variable at 12:40.

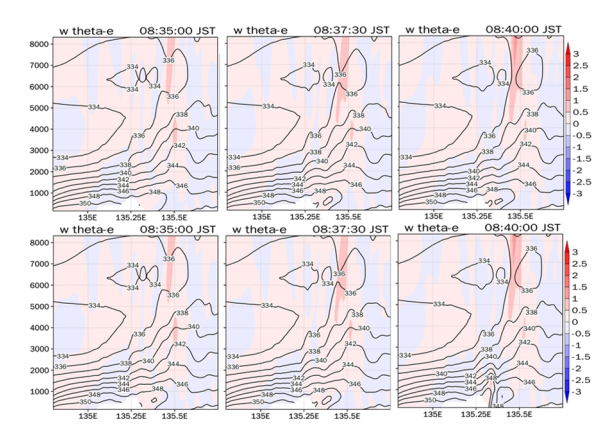


Fig. 61 Vertical section equivalent potential temperature (contour) upflow (shaded) (8:35 to 8:40) in case q_r (upper: before each step lower: after each step).

5.10 雲水混合比と雨水混合比の比較

ここでは、同化した雨水混合比と雲水混合比についての解析を行う。Fig.35 で示した鉛直断面と同じ lat = 34.77 での、ケース q_r における同化前後の q_r と q_c の鉛直断面を Fig.62 に示す。オレンジ色の円で囲こんだ領域で同化による変化が見られた。8:35 では、lon=135.4 において地上付近で $1\sim1.5$ g/kg の雨水混合比が確認され、lon=135.25 において高度 1000 m ~3000 m では、 $0.2\sim0.5$ g/kg の雨水混合比が確認された。雲水混合比の変化は見られなかった。 8:40 では、高度 1000 m ~2000 m で雲水混合比が 0.2 g/kg、雨水混合比が 0.5 g/kg が確認された。しかし、両方の時刻において、同化によって形成された雨水混合比は、その後発達することなく地上降雨となった。この結果をケース q_c と比較を行う。

ケース q_c における同化前後の q_r と q_c の鉛直断面を Fig.63 に示す. 赤色の円で囲こんだ領域で同化によって変化が見られた. 8:25 では、lat=135.25 において、高度 1000 m \sim 3000 m で雲水混合比が 0.2 g/kg、高度 1000 m \sim 3000 m で雨水混合比の最大値が 1.5 g/kg が確認された. 8:30 では、lat=135.25 において、高度 1000 m \sim 4000 m で雲水混合比が 0.2 g/kg、高度 1000 m \sim 2000 m で雨水混合比の最大値が 1.0 g/kg が確認された.

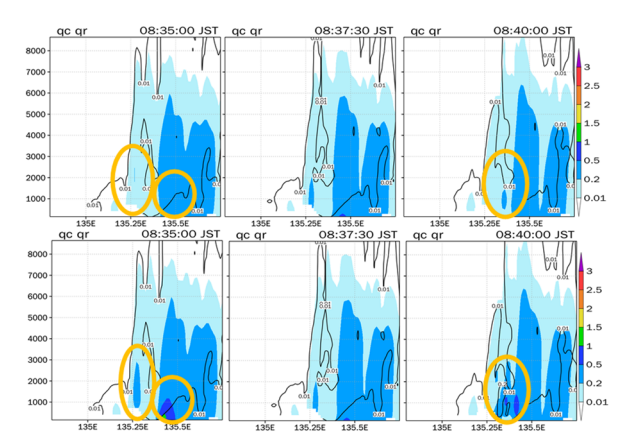


Fig.62 Vertical section at 8:25 to 8:30 in case q_r (q_c : contour q_r : shade). (upper: before each step assimilation lower: after each step assimilation)

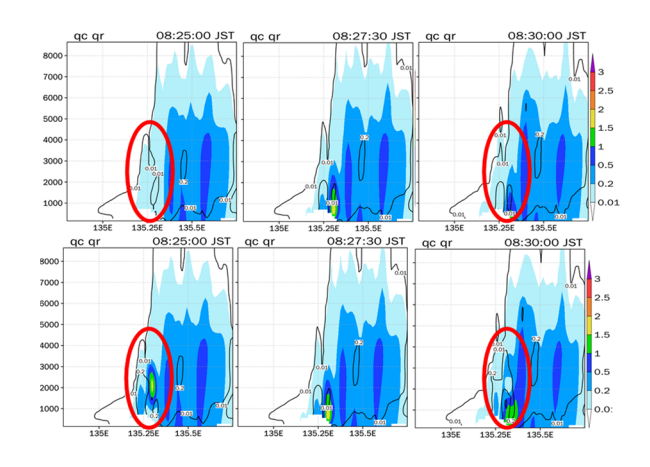


Fig.63 Vertical section at 8:25 to 8:30 in case q_c (q_c : contour q_r : shade). (upper: before each step assimilation lower: after each step assimilation)

また q_c と q_r の増加分が大きかったのはケース q_c であった.この理由として,第一推定値と観測値の 大小関係であると考えられる. 観測値の q_r と, 第一 推定値の qr の値を比較すると概ね同じ値であった. 一方で, 観測値 qc は 8:25 では最大値が 0.5 g/kg 以 上,またその周囲には0.2 g/kg以上の値が確認され, 8:30 では、最大値 1 g/kg 以上、またその周囲には 0.5 $\sim 1.0 \, \text{g/kg}$ 程度であった. 第一推定値 q_c は一部で 0.2g/kg が確認されてはいるが、多くの部分でそれを下 回る値が分布していた. 観測値の qcと第一推定値の qcの値を比較すると、qcの第一推定値が過小に評価 されていたため、 q_c 同化による q_r と q_c の増加量が大 きくなった. そのため, Fig.42 に示すように, 8:25~ 8:30 において増加した降雨は qr が過剰に増加したこ とによる降雨であると考えられる.一方で,同化に よって qc が増加したことによって、上昇流や相当温 位といった発達する環境場が形成され、その結果モ デルの予測によって、8:35 以降の降雨が発達したと 考えられる. また, 同化によって積乱雲が形成され たのではなく、同化によって環境場が改善され、モ デルを通じて積乱雲の発生を促したため,降雨もケ ース q_r と比較して維持されたと考えられた.

5.9 観測誤差の評価

ここでは、今回設定した雲水混合比の観測誤差について記載する. 現段階では、Ka バンドレーダーから雲水混合比を算出した研究はあまり行われておらず、そのため定量的な観測誤差は明らかになっていない. そこで、本研究では、Fig.64 に示した、line"K"という少し性質が異なった直線で求めた場合との比較と、line"B"が性質の同じ観測点の中で変化された場合との比較を行った. この比較から、今回設定した 0.2 g/kg の妥当性を評価する.

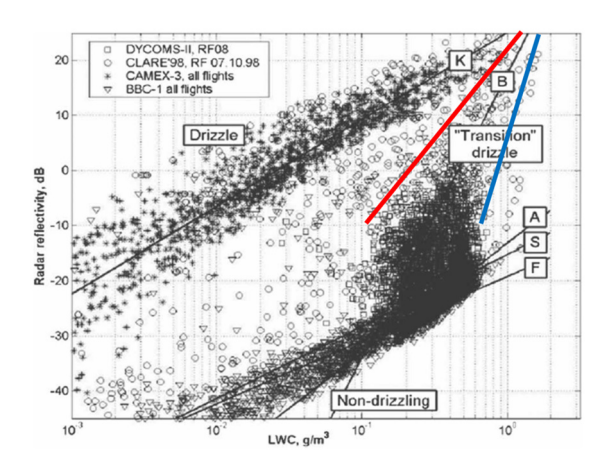


Fig.64 Relationship between reflection intensity calculated from particle size distribution and LWC (Khain *et al.* (2008))

Table 10 Comparison of calculated q_c .

	各直線によって算出した雲水混合比[g/kg]										
反射強度			lineKخlineB			青線と赤					
[dBz]	lineB	lineK	の差	赤線	青線	線の差					
-10	0.31	0.0062	0.3	0.1	0.6	0.5					
-5	0.42	0.015	0.4	0.15	0.74	0.59					
0	0.54	0.033	0.5	0.2	0.83	0.63					
5	0.68	0.074	0.6	0.3	1	0.7					
10	0.79	0.17	0.62	0.4	1.1	0.7					
15	0.93	0.35	0.58	0.7	1.23	0.53					
20	1.2	0.42	0.78	0.9	1.42	0.52					

各直線によって算出した結果を Table 10 に示す. line"K"と line"B"のそれぞれで算出した値の差は 0.3~0.8g/kg であり、ドリズルが存在の有無という性 質の違いでこの程度の差が生じることが分かった. 次に、line"B"と似た性質の雲粒子を観測している領 域を囲むように Fig.64 に示すように、赤線と青線を 設定し、それぞれの差を算出した. 結果として、 0.5~0.7g/kg となり、line"B"が赤線と青線の中心に存 在することから、概ね観測誤差として 0.25~0.35g/kg になる. 反射強度がほぼ正確に観測されているとす ると, 観測誤差として設定した 0.2g/kg は比較的精度 良く推定できたという条件で同化を行ったと考えら れる. 今回は積乱雲発達初期という, 雲水が形成さ れ始めている段階であり, 比較的精度良く算出でき るような条件であったと考えられ, 今回設定した観 測誤差は妥当であったと考えられる.

5.10 同化実験まとめ

雲情報データ同化実験の結果と、従来の XRAIN を 用いた同化実験のまとめを述べる.まず、Fig.65 に、 各観測値のデータ同化の目的を示す.ひまわり 8 号 から算出した相対湿度のデータ同化では、海上から 流入する湿った空気を再現し、積乱雲が発生、発達、 維持できるような湿潤な環境場の再現を目指した. Ka バンドレーダーから算出した雲水混合比の同化では、積乱雲の発生の再現に向けて、雲水や上昇流の形成を目指した. また、従来の XRAIN から雨水混合比のデータ同化では、積乱雲の発達の再現に向けて、雨水や上昇流の形成を目指した. 相対湿度同化は広域な環境場の再現を、雲水混合比同化と雨水混合比同化が局所的な場の再現性向上を目指した.

雲情報同化の結果である,相対湿度同化の結果の概念図を Fig.66 に,雲水混合比同化の結果の概念図を Fig.67 に示す.相対湿度同化は,同化直後の降雨発生よりも早いタイミングで,強い降雨が発生し,その後降雨を抑制した.下層では,同化以前から相対湿度が高かったためあまり影響は見られなかった.一方3000m以上の高度では、水蒸気の増加が見られ,その水蒸気は上空に維持されず,広範囲に強い降雨をもたらした.その後,降雨によって下降流が支配的な場となり降雨を抑制した.雲水混合比同化は,積乱雲の発生,発達,維持が再現された.雲水や上昇流の形成だけでなく,最下層からの水蒸気の供給も再現された結果であると考えられる.

さらに従来データ同化が行われていた XRAIN か ら算出した qr を用いた同化実験と, Ka バンドレーダ ーから算出した qcを用いた同化実験の比較を行った. 雨水混合比の結果の概念図を Fig.68 に示す. ケース q_c は発達・維持を促すことができ、ケース q_r では降 雨強度が同化によって増加するものの発達・維持を 促せなかった. この原因としては, q_c , q_r の特性の違 いが考えられる. q_r が大きな値を示す現象の段階と しては, 上昇流が発生し積乱雲が発達する段階と, 降雨が発生し下降流が形成され衰退する段階の両方 が考えられる. そのため、今回のような大規模な降 雨が発生しており、 q_r が高い値でも、下降流が形成 されている場と、積乱雲が発達して上昇流が形成さ れている場が混在しており、qrと鉛直風の誤差相関 がなかったと考えられる. 一方で、qc が大きな値を 持つときは、上昇流によって積乱雲が発達し、qrが 形成され始めている段階に限定されると考えられ、 qc 同化によって上昇流が形成されたと考えられる. 今回の事例においては、qc, qrの双方を用いた、デー タ同化実験を行った場合は,単独の方で積乱雲の発 達,維持は再現できるか,影響があまりないような 結果になると考えられる.一方で、今回は雲水のみ が形成されていると考えられる積乱雲発達初期の情 報を抽出しているため、 qc 同化によってあまり過剰 に降雨を発生されていないが、 q_r も形成されて、Kaバンドレーダーで観測される反射強度が大きい値を とる場合などは、算出方法を見直すことや、XRAIN の情報も用いて qcを算出する必要があるだろう.



Fig.65 Conceptual diagram showing the purpose of the assimilation of each observation made this time.



Fig.66 Conceptual diagram showing the results of relative humidity data assimilation.



Fig.67 Conceptual diagram showing the results of data assimilation of cloud water mixing ratio.



Fig. 68 Conceptual diagram showing the results of data assimilation of the mixing ratio of rainwater.

6.結論

本研究では、OSSEを用いた理想実験と、実際の観測値を用いた同化実験を行い、積乱雲発達初期段階の雲情報をデータ同化し、ゲリラ豪雨の予測及びメカニズムの解明に取り組んだ。まず、理想実験の枠組みで、雲情報同化の効果を評価し、 q_c 同化の有用性が確認された。また、発達する積乱雲の大気場の解析から、降雨開始以前の相対湿度の分布に着目することで、発達のシグナルが得られる可能性が示唆された。そして、実際の観測値を用いて、 q_c と rhを算出し、同化実験を行った。rh同化においては、今後同化の方法の改善が必要と示唆された。一方で、 q_c 同化では、水蒸気や上昇流が改善され、降雨再現性が向上した。

さらに本研究では、 q_r 同化と q_c 同化の比較を行い、それぞれの同化によって、どのような過程で降雨が発生しているかの解析を行った。 q_r 同化は同化によって形成された q_r が直接降雨となっている。一方で、 q_c 同化は、同化によって水蒸気や上昇流が改善され、その結果モデルの予測によって q_r が形成され、降雨が形成された。後者によって、形成された降雨は力学的バランスが保たれているため、降雨が維持されたと考えられる。

今後の課題として、以下のことがあげられる。今回は雲水のみが形成されていると考えられる積乱雲発達初期の情報を抽出しているため、 q_c が精度よく算出されたと考えられる。そのため、同化によって過剰に降雨を発生させていないが、今後は、積乱雲が発達し q_r も形成されて、Kaバンドレーダーで観測される反射強度が大きい値をとる場合などは、雲水混合比 q_c の算出方法を見直すが必要になるだろう。

謝辞

本研究は JSPS 科研費 15H05765 (基盤研究 S「ストームジェネシスを捉えるための先端フィールド観測と豪雨災害軽減に向けた総合研究」、研究代表者:中北英一)の助成を受けたものです.

参考文献

- 石橋俊之(2013): 観測システムシュミレーション実験(OSSE). 天気. Vol.60, No.10, 831-833
- 片山勝之・山路昭彦・中村文彦・森田宏・中北英一 (2015): 局地的豪雨探知システムの開発,河川技術 論文集,第21巻,pp.401-406.
- 澤田洋平・岡本幸三・国井勝・三好建正(2016): ひま

- わり8号を活かした局地的大雨の予測精度向上の 試み. 日本気象学会2016年春季大会講演予稿集. 日本気象学会,p.121.
- 新保友啓(2017):Ka バンド偏波ドップラーレーダを 用いた雲特性の解析及びゲリラ豪雨早期探知への 応用の検討,京都大学工学部.
- 中北英一・山口弘誠・山邊洋之(2008): レーダー情報 を用いたゲリラ豪雨の卵の解析,京都大学防災研 究所年報,第52号,pp.547-562.
- 浜津享助・若山俊夫・渡邉伸一郎・橋口浩之・深尾 昌一郎(2000): 雲霧観測用 Ka バンドドップラーレ ーダの開発. 電子情報通信学会論文誌 B, Vol. J83-B,No.4,pp.554-566
- 疋田丈晴(2016): 静止気象衛星と Ka バンド雲レーダ を用いた夏季孤立積乱雲の早期検出. 名古屋大学 大学院環境学研究科地球環境科学専攻修士論文
- 山口弘誠・中北英一(2009): 偏波気象レーダーを用いた降水粒子タイプ情報のデータ同化手法の開発,京都大学防災研究所年報,第 52 号 B, CD-ROM,pp.539-546.
- Christopher A. Kerr et al. (2014): Assimilation of Cloud-Top Temperature and Radar Observations of an Idealized Splitting Supercell Using an Observing System Simulation Experiment, Monthly Weather Review. April 2015, Vol. 143, No.4,pp.1018-1034.
- Hunt, B. R., Kostelich, E. J. and Szunyogh, I.(2007): Efficient data assimilation for spatiotemporal chaos: A local ensemble transform Kalman filter. *Physica D*, Vol. 230, pp.112-126.
- Kain, J. S., and Coauthors. (2010): Assessing advances in the assimilation of radar data and other mesoscale observations within a collaborative forecasting—research environment, *Wea. Forecasting*, **25**, pp.1510—1521
- Matsutani, M et al.(2010): Observing system simulation experiments at the National Centers for Environmental Prediction.

 J Geophys. Res, Vol.115, D07101, doi:10.1029/2009JD012528.
- MASARU KUNII (2014): Mesoscale Data Assimilation for a Local Severe Rainfall Event with the NHM-LETKF System. Weather and forecasting, vol.29.pp.1093-1105.
- Marseille, G.-J., A. Stoffelen and J. Barkmeijier. (2008): Sensitivity Observing System Experiment (SOES): A new effective NWP-based tool in designing the global observing system. Tellus A, 60, pp.216-233
- Miyoshi, T. and K. Aranami(2006): Applying a Fourdimensional Local Ensemble Transform Kalman Filter (4D-LETKF) to the JMA Nonhydrostatic Model

- (NHM).SOLA,2,pp128-131.
- Miyoshi, T. and Yamane, S. (2007): Local ensemble transform Kalman filtering with and AGCM at a T159/L48 resolution, *Mon. Wea. Rev.*, Vol. 135, pp.3841-3861.
- Patil, D. J., Hunt, B. R., Kalnay, E., Yorke, J. A. and Ott, E. (2001): Local low dimensionality of atmospheric dynamics, *Phys. Rev. Lett.*, pp.5878-5881.
- Skamarock WC, Klemp JB, Dudhia J, Gill Do, Barker DM, Duda MG, Huang X-Y, Wang W. and Powers JG. (2008): A description of the Advanced Research WRF Version 3,NCAR Technical Note NCAR/TN-475+STR,Boulder.
- Sun, J., M. Xue, J. W. Wilson, I. Zawadzki, S. P. Ballard, J. Onvlee-Hooimeyer, P. Joe, D. M. Barker, P.-W. Li, B. Golding, M. Xu, and J. Pinto. (2014): Use of NWP for nowcasting convective precipitation: recent progress and challenges, *Bull. Amer. Meteor. Soc.*, 95, pp.409– 426.

- Tan, D.G.H., E. Andersson, M. Fisher and L. Isaksen, (2007): Observing-system impact assessment using a data assimilation ensemble technique: application to the ADM-Aeolus wind profiling mission.Quart.J.Roy.Meteor.Soc., 133,pp.381-390.
- Tsuyuki, T., and T. Miyoshi, (2007): Recent progress of data assimilation methods in meteorology, *J. Meteor. Soc. Japan*, **85**, pp.331-361.
- Yamaguchi, K., and E. Nakakita, 2008: Ensemble Kalman filter assimilation of Doppler radar data using the cloud-resolving non-hydrostatic model with an aim to introduce polarimetric radar data assimilation, Proc. of 7th International Symposium on Weather Radar and Hydrology, 3 pp.

(論文受理日: 2019 年 6 月 13 日)